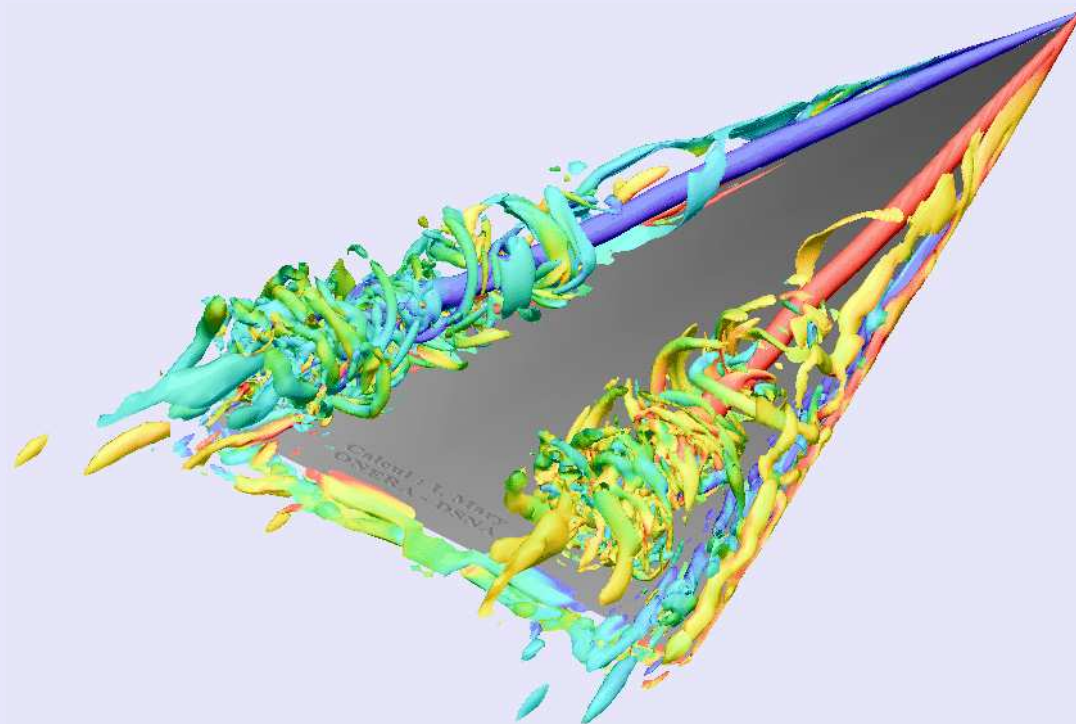


Problèmes typiques de la simulation numérique tridimensionnelle et instationnaire

Lionel Larchevêque

Laboratoire IUSTI, UMR CNRS 6595, groupe supersonique
Ecole polytechnique de Marseille



lionel.larcheveque@polytech.univ-mrs.fr

Plan

- Pour mieux se comprendre...
- Turbulence et structures cohérentes
- Structures cohérentes : les approches subjectives
- Structures cohérentes : les approches objectives
- Comparaison (visuelle) des approches objectives
- Mieux voir, mieux comprendre
- Visualisations en tous genre
- Bibliographie

Pour mieux se comprendre (1/2)

- Utilisation de la convention de sommation sur les indices répétés

$$a_i b_i \longrightarrow \sum_{i=1}^3 a_i b_i$$

- Tenseur de Kroenecker

$$\delta_{ij} = \begin{cases} 0 & \text{si } i \neq j \\ 1 & \text{si } i = j \end{cases}$$

Pour mieux se comprendre (2/2)

- Equations de Navier-Stokes (incompressible)

- variables

- vitesse u_i
- masse volumique ρ
- pression p
- viscosité cinématique ν

- équation de continuité

$$\frac{\partial u_i}{\partial x_i} = 0 \quad (1)$$

- équation de quantité de mouvement

$$\frac{\partial u_i}{\partial t} + u_j \frac{\partial u_i}{\partial x_j} = -\frac{1}{\rho} \frac{\partial p}{\partial x_i} + \nu \frac{\partial^2 u_i}{\partial x_j \partial x_j} \quad (2)$$

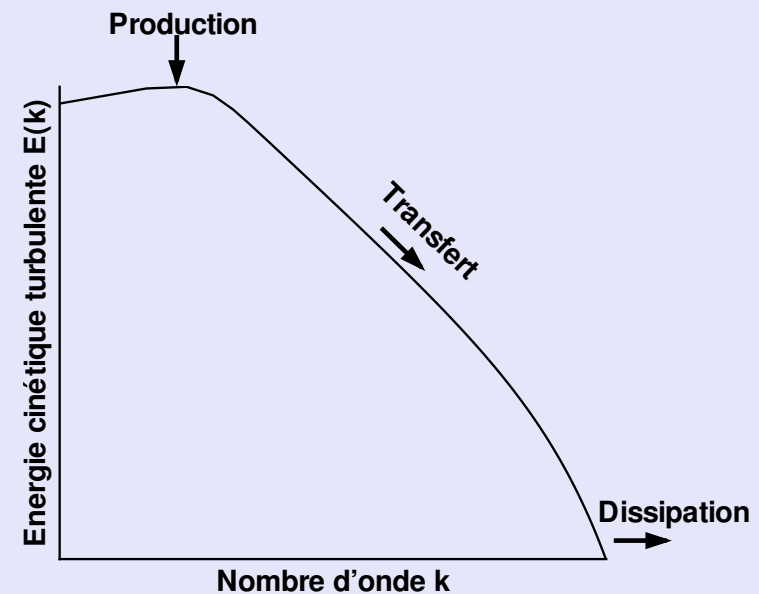
Turbulence et structures cohérentes

- Introduction à la turbulence
- un bref historique des structures cohérentes

Introduction à la turbulence (1/2)

La turbulence :

- phénomène instationnaire
- phénomène tridimensionnel (généralement)
- phénomène non-linéaire
- phénomène multi-échelles
- apparaît lorsque inertie \gg dissipation
- régule l'énergie dans l'écoulement par
 - un transfert non-dissipatif entre échelles ...
 - ... pour augmenter la dissipation



Introduction à la turbulence (2/2)

La cascade de Kolmogorov-Richardson

*Big whorls have little whorls,
Which feed on their velocity,
And little whorls have lesser whorls,
And so on to viscosity.*

Lewis F. Richardson, 1922

Dynamique de la turbulence \longrightarrow dynamique tourbillonnaire

- transfert d'énergie conservatif entre tourbillons ...
- ... vers des tourbillons plus petits ...
- ... par un mécanisme d'étirement tourbillonnaire
- Parmi ces tourbillons, certains :
 - sont intenses
 - ont une durée de vie T_c longue :

$$T_c \gg \left(\overrightarrow{rot} \overrightarrow{u} \right)^{-1}$$

\Rightarrow structures cohérentes

Un bref historique des structures cohérentes (1/3)

Observées depuis longtemps



*Leonard de Vinci
étude d'un écoulement
c. 1513*

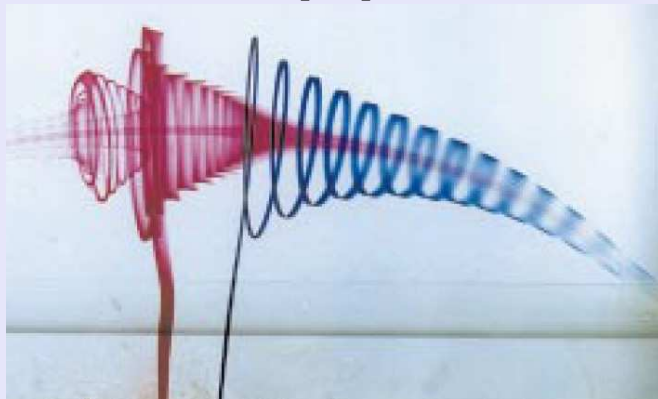
Étudiées plus avant depuis les années 60

- Expérience sur les jets [5]
- Expérience sur les couches de mélange [3]
- Analyse numérique de stabilité [7]

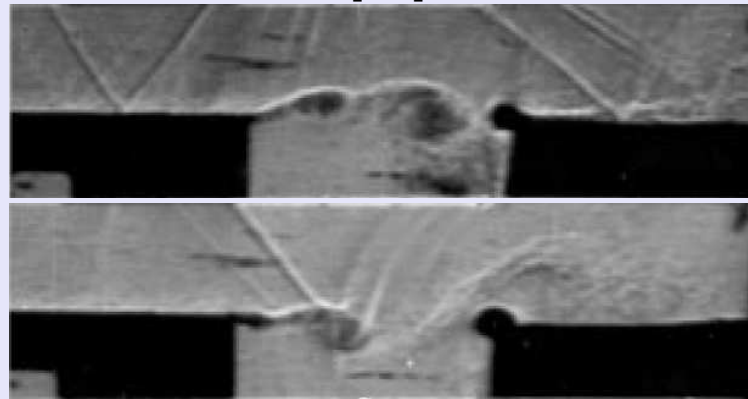
Un bref historique des structures cohérentes (2/3)

Visualisations expérimentales

[22]



[25]



Méthodes de caractérisation

- statistiques en deux points
- moyenne de phase
- P.O.D. (voir cours J. Delville)
- Ondelettes (voir cours K. Schneider)

Un bref historique des structures cohérentes (3/3)

Approches numériques

- Avant 1985
 - Approche moyennée (en temps) : RANS
 - stationnaire }
bidimensionnelle } \Rightarrow pas de structure cohérente
 - Après 1985
 - calculs instationnaires
 - calculs tridimensionnels
 - Simulation numérique directe (DNS) [8]
 - Simulation des grandes échelles (LES) [4]
- \Rightarrow possibilité d'étudier la dynamique tourbillonnaire turbulente

Problème : comment caractériser un tourbillon dans un champ 3D instationnaire

Structures cohérentes : les approches subjectives

- Présentation des cas test
- Lignes de courant
- Zone de haute vorticit 
- Zone de basse pression

Présentation des cas test (1/3)

Calculs de type simulation des grandes échelles

- permet d'étudier des écoulements mélangeant
 - zones pleinement turbulente,
 - instationnarités à grande échelle.

Écoulement de culot de plaque [32]

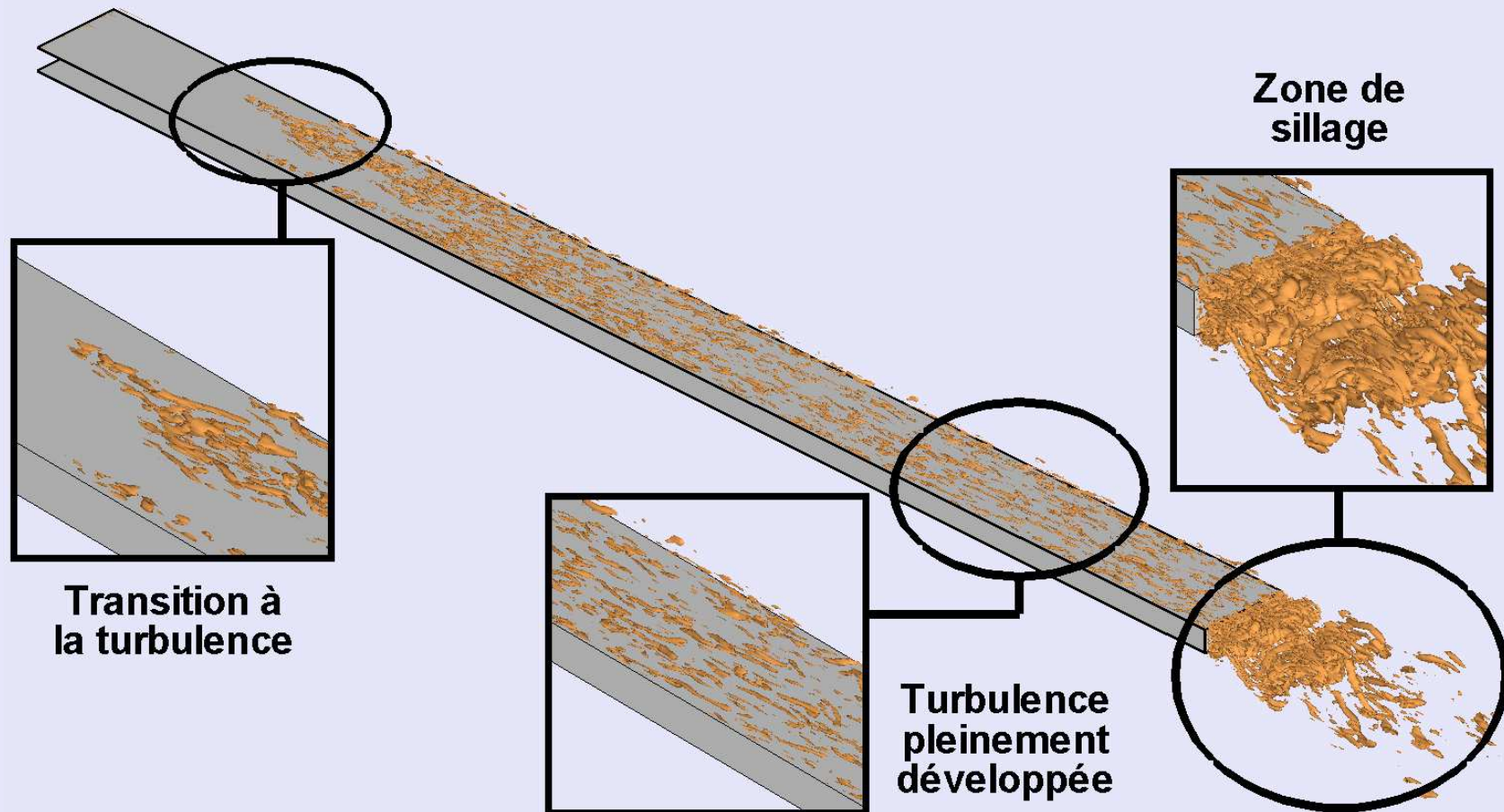
- quasi-incompressible ($M=0,4$)
- physique variée :
 - transition laminaire-turbulent
 - turbulence de paroi pleinement développée
 - zone de sillage avec allée de Von Karman

Écoulement de cavité [28]

- faiblement compressible ($M=0,8$)
- couplage aéroacoustique entre
 - tourbillons de la couche de mélange forcée
 - ondes de pression

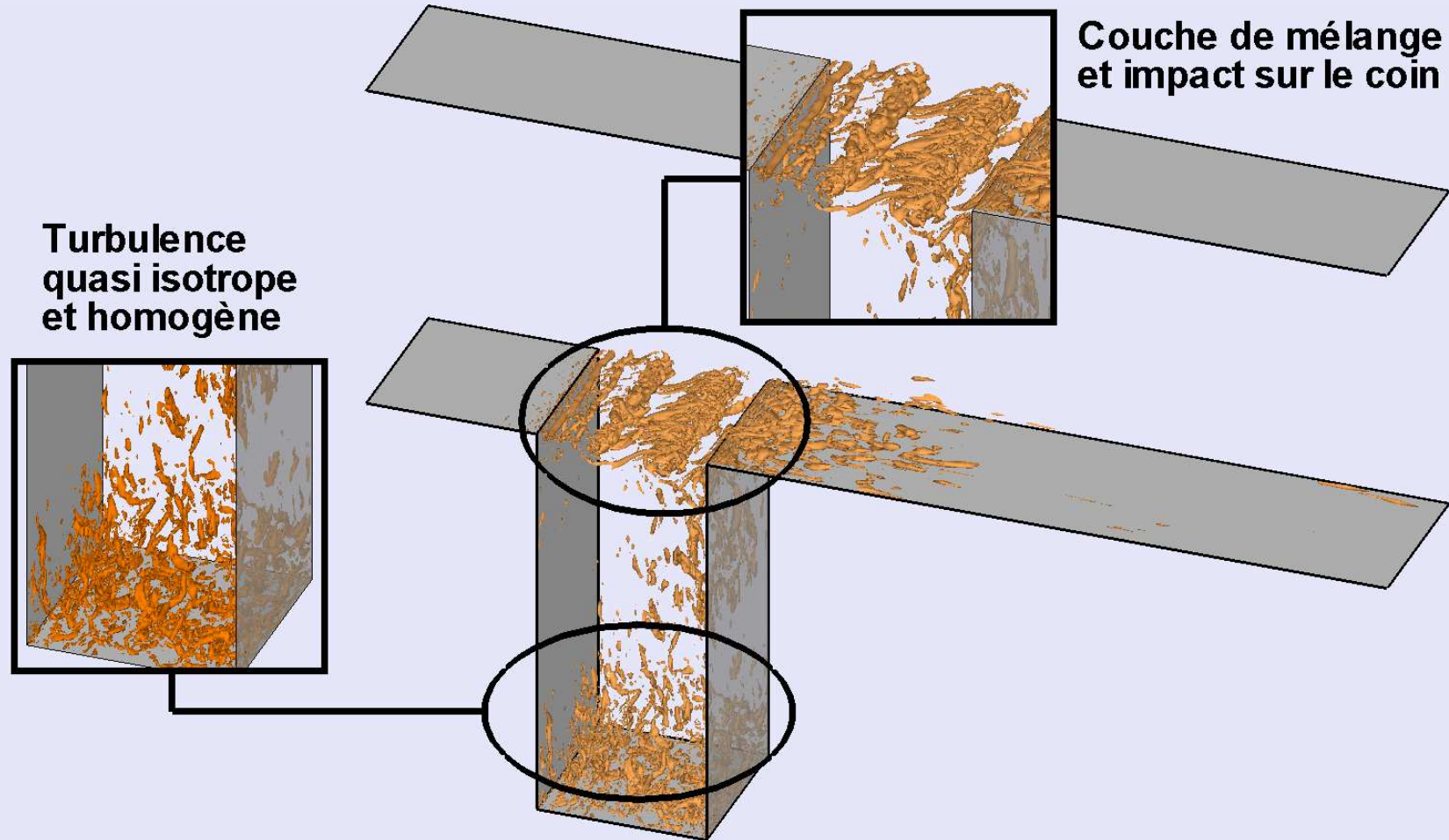
Présentation des cas test (2/3)

Écoulement de culot de plaque



Présentation des cas test (3/3)

Ecoulement de cavité



Lignes de courant (1/2)

Définition

- Courbe tangente en tous points au vecteur vitesse

Justifications

- se rapproche des visualisations expérimentales par filets colorés
- utilisées pour caractériser les zones de recirculation des calculs RANS.

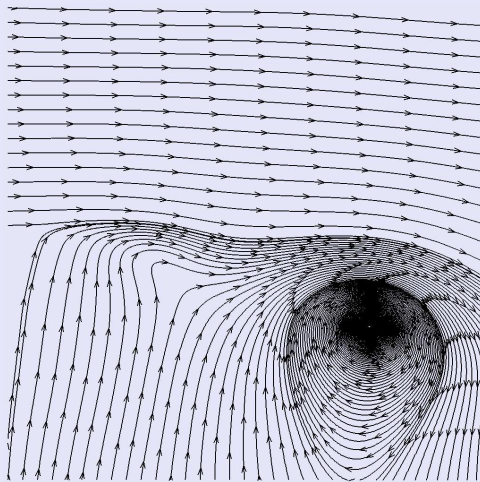
Limitations

- en instationnaire, lignes de courant \neq trajectoires
 - solution : résoudre une équation pour un scalaire passif
- difficile à visualiser si le champ de vitesse est très fluctuant spatialement

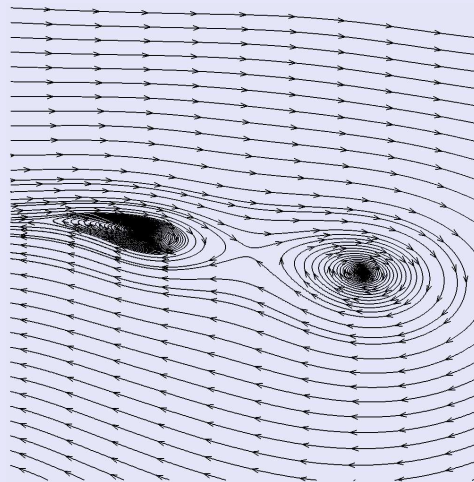
Lignes de courant (2/2)

Limitations (suite)

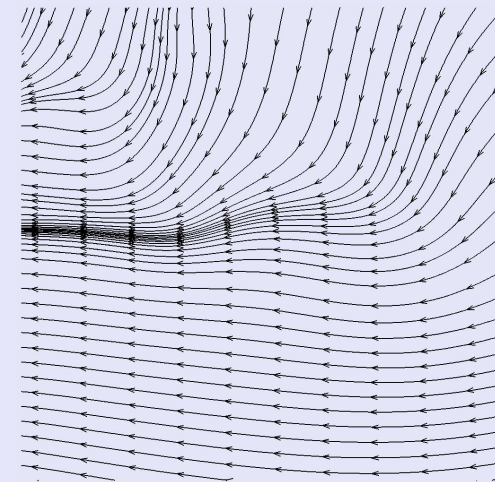
- Représentation non-invariante par changement galiléen de référentiel



$$U_{\text{réf.}} = 0$$



$$U_{\text{réf.}} = U_{\text{tourbillons}}$$



$$U_{\text{réf.}} = U_{\text{extérieure}}$$

Zone de haute vorticit  (1/3)

D finition

- vorticit  $\vec{\omega} = \text{rot } \vec{u}$
- $\|\vec{\omega}\|$ pour une approche isotrope
- l'un des ω_i pour une approche orient e

Justifications

- analogie entre structures coh rentes et tubes de tourbillons
- haut niveau de vorticit  au sein des structures coh rentes

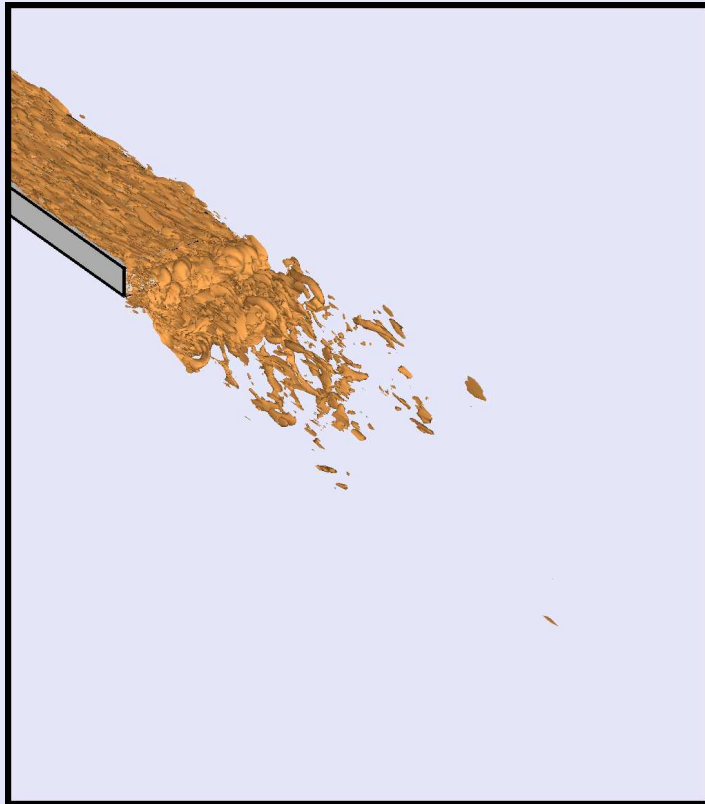
Limitations

- inclue les r gions de cisaillement sans rotation (proche paroi)
 - solution : soustraire le champ de cisaillement

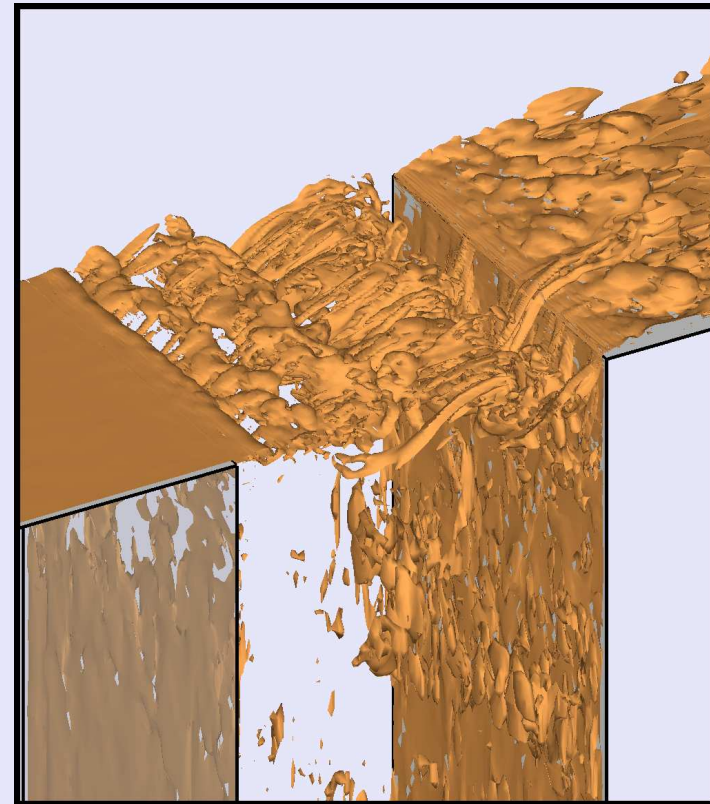
Zone de haute vorticit  (2/3)

Illustrations : vorticit  absolue

Sillage de culot



Couche de m lange



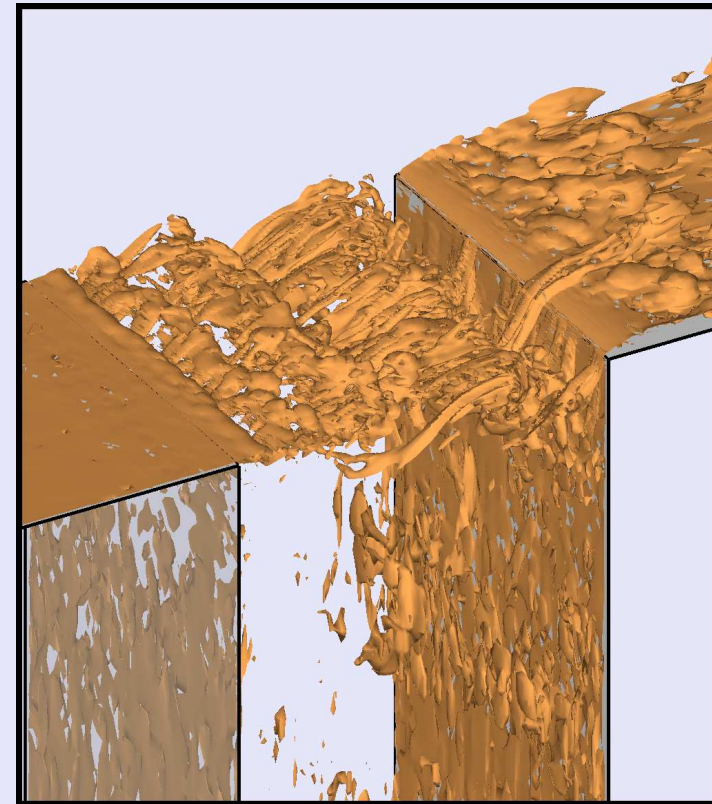
Zone de haute vorticit  (3/3)

Illustrations : vorticit  fluctuante

Sillage de culot



Couche de m lange



Zone de basse pression (1/3)

Justifications

- bien corrélées expérimentalement avec les structures cohérentes
- intuitivement : dans le repère du tourbillon, la pression compense la force centrifuge
- mathématiquement
équation 2 sous forme rotationnelle :

$$\frac{\partial \vec{u}}{\partial t} + \vec{\omega} \times \vec{u} = -\frac{1}{\rho} \vec{\nabla} \left(p + \frac{1}{2} \rho \|\vec{u}\|^2 \right) \quad (3)$$

Puisque T_c est grand, $\frac{\partial \vec{u}}{\partial t}$ est négligeable, d'où

$$\vec{\omega} \times \vec{u} = -\frac{1}{\rho} \vec{\nabla} \left(p + \frac{1}{2} \rho \|\vec{u}\|^2 \right) : \text{équilibre cyclostrophique} \quad (4)$$

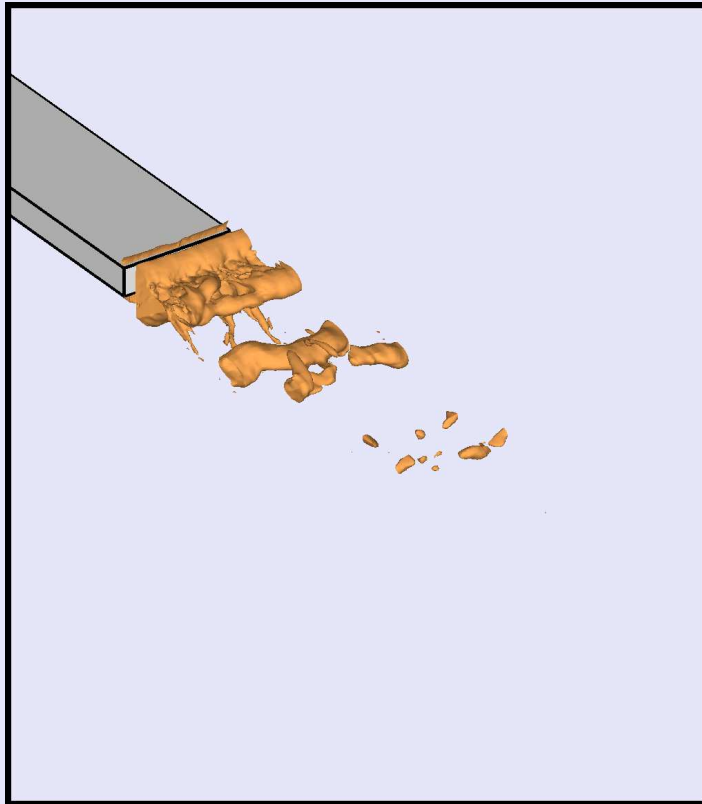
Limitations

- Très forte variabilité de p au sein de l'écoulement
 - solution : soustraire un champ de pression moyen

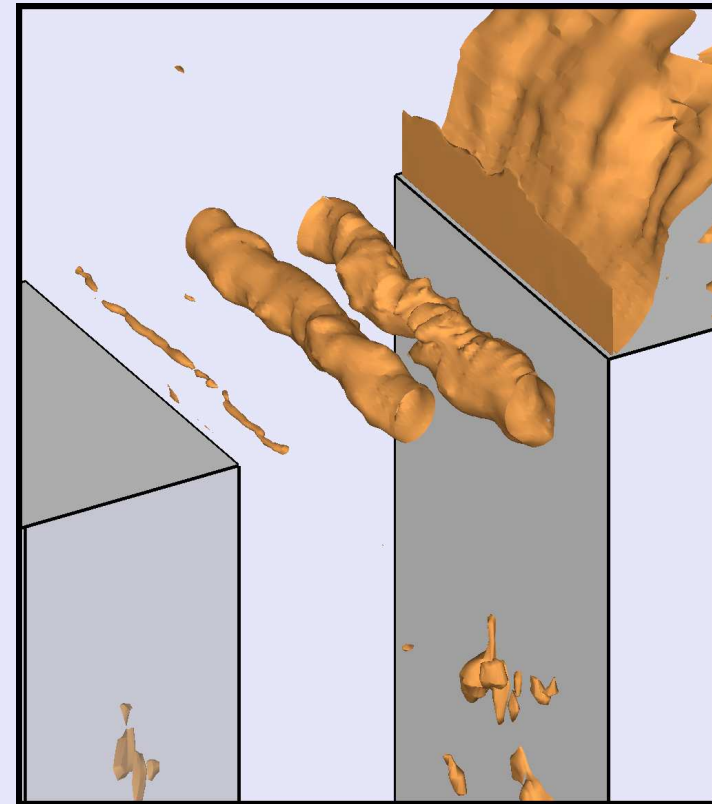
Zone de basse pression (2/3)

Illustrations : pression absolue

Sillage de culot



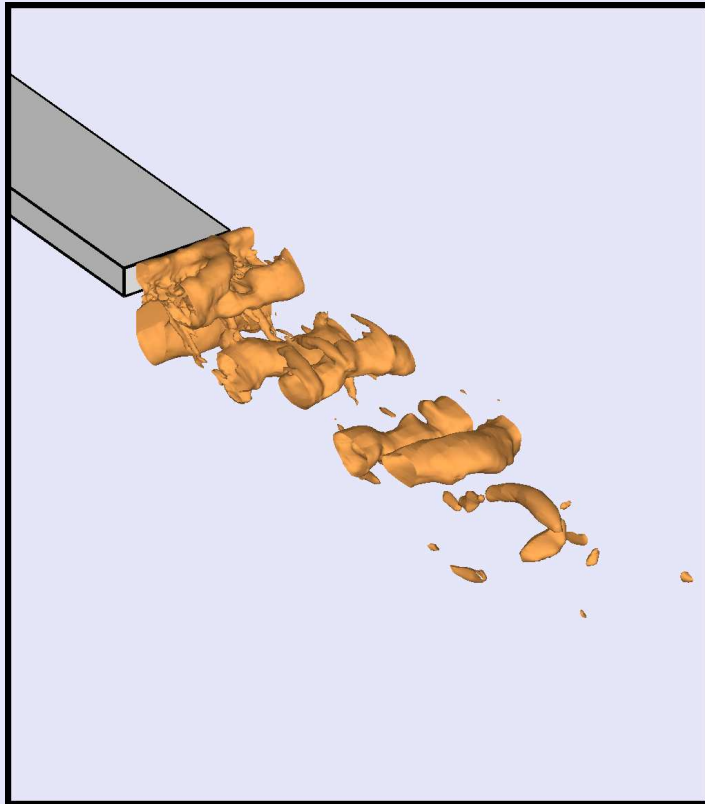
Couche de mélange



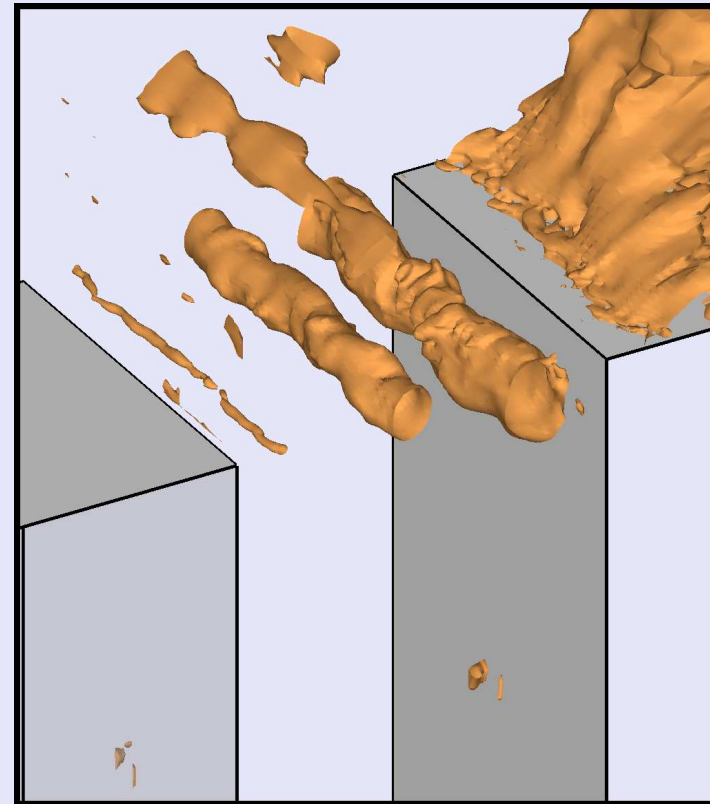
Zone de basse pression (2/3)

Illustrations : pression fluctuante

Sillage de culot



Couche de mélange



Structure cohérentes : les approches objectives

- Critère Δ
- Critère Q
- Critère λ_2
- Relations entre les critères
- Cas des écoulements compressibles
- Autres approches

Critère Δ [10] (1/3)

Idées directrices

- étude du comportement en un point de l'écoulement dans un repère se déplaçant à la vitesse locale
- tourbillons assimilés à des trajectoires de particules de type rotation.

Formulation

- linéarisation des équations du mouvement
 - introduction du tenseur des gradients de vitesse $\nabla \mathbf{u}$:

$$(\nabla \mathbf{u})_{ij} = \frac{\partial u_i}{\partial x_j} \quad (5)$$

- équation pour la vitesse dans le repère local :

$$u_i^* = \frac{\partial u_i}{\partial x_j} x_j^* \quad (6)$$

Critère Δ [10] (2/3)

Formulation (suite)

- étude des trajectoires
 - formulation du système dynamique

$$\begin{pmatrix} \dot{x}_1 \\ \dot{x}_2 \\ \dot{x}_3 \end{pmatrix} = \begin{pmatrix} \frac{\partial u_1}{\partial x_1} & \frac{\partial u_1}{\partial x_2} & \frac{\partial u_1}{\partial x_3} \\ \frac{\partial u_2}{\partial x_1} & \frac{\partial u_2}{\partial x_2} & \frac{\partial u_2}{\partial x_3} \\ \frac{\partial u_3}{\partial x_1} & \frac{\partial u_3}{\partial x_2} & \frac{\partial u_3}{\partial x_3} \end{pmatrix} \begin{pmatrix} x_1 \\ x_2 \\ x_3 \end{pmatrix} \quad (7)$$

- diagonalisation du système et classification en fonction des valeurs propres :

valeurs propres complexes
 \Leftrightarrow
 discriminant $\Delta < 0$

} \Rightarrow courbes fermées ou en spirales

Régions tourbillonnaires $\Leftrightarrow \Delta < 0$

Critère Δ [10] (3/3)

Comportement la paroi

- Paroi portée (arbitrairement) par le plan (x_1, x_2) :
il vient :

$$\frac{\partial \cdot}{\partial x_1} \equiv 0 \quad \frac{\partial \cdot}{\partial x_2} \equiv 0 \quad \frac{\partial u_3}{\partial x_3} = 0 \quad (8)$$

d'où

$$\nabla \mathbf{u} = \begin{pmatrix} 0 & 0 & \alpha \\ 0 & 0 & \beta \\ 0 & 0 & 0 \end{pmatrix} \quad \alpha, \beta \in \mathbb{R} \quad (9)$$

L'équation caractéristique de $\nabla \mathbf{u}$ se réduit donc à $\lambda^3 = 0$

- La paroi ne peut correspondre à une zone tourbillonnaire au sens de ce critère.

Critère Q [15] (1/4)

Idées directrices

- Un tourbillon est une région où la rotation domine le cisaillement
- Un tourbillon est une zone de basse pression

Formulation

- Séparation de $\nabla \mathbf{u}$ en parties symétrique et antisymétrique

$$\frac{\partial u_i}{\partial x_j} = S_{ij} + \Omega_{ij} \quad (10)$$

avec

$$S_{ij} = \frac{1}{2} \left(\frac{\partial u_i}{\partial x_j} + \frac{\partial u_j}{\partial x_i} \right) \quad \text{tenseur des taux de cisaillement} \quad (11)$$

$$\Omega_{ij} = \frac{1}{2} \left(\frac{\partial u_i}{\partial x_j} - \frac{\partial u_j}{\partial x_i} \right) \quad \text{tenseur des taux de rotation} \quad (12)$$

Critère Q [15] (2/4)

Formulation (suite)

- Calcul d'une norme de ces deux tenseurs :

$$\|\mathbf{S}\|^2 = S_{ik}S_{jk} \delta_{ij} = S_{ij}S_{ij} \quad (13)$$

$$\|\mathbf{\Omega}\|^2 = \Omega_{ik}\Omega_{jk} \delta_{ij} = \Omega_{ij}\Omega_{ij} \quad (14)$$

- Différence entre les deux normes :

$$Q = \frac{1}{2} (\|\mathbf{\Omega}\|^2 - \|\mathbf{S}\|^2) \quad (15)$$

$Q > 0 \Rightarrow$ taux de rotation $>$ taux de cisaillement

Régions tourbillonnaires $\Leftrightarrow Q > 0$

Critère Q [15] (3/4)

Formulation (suite)

- écriture plus explicite :

$$\Omega_{ij}\Omega_{ij} = \frac{1}{4} \left(\frac{\partial u_i}{\partial x_j} \frac{\partial u_i}{\partial x_j} - 2 \frac{\partial u_i}{\partial x_j} \frac{\partial u_j}{\partial x_i} + \frac{\partial u_j}{\partial x_i} \frac{\partial u_j}{\partial x_i} \right) \quad (16)$$

$$S_{ij}S_{ij} = \frac{1}{4} \left(\frac{\partial u_i}{\partial x_j} \frac{\partial u_i}{\partial x_j} + 2 \frac{\partial u_i}{\partial x_j} \frac{\partial u_j}{\partial x_i} + \frac{\partial u_j}{\partial x_i} \frac{\partial u_j}{\partial x_i} \right) \quad (17)$$

d'où

$$Q = -\frac{1}{2} \frac{\partial u_i}{\partial x_j} \frac{\partial u_j}{\partial x_i} \quad (18)$$

Comportement la paroi

- d'après les équations 8 et 18, $Q \equiv 0$ à la paroi
- La paroi ne peut correspondre à une zone tourbillonnaire au sens de ce critère.

Critère Q [15] (4/4)

Réinterprétation du critère

- divergence de l'équation 2 :

$$\frac{\partial}{\partial x_i} \left(\frac{\partial u_i}{\partial t} + u_j \frac{\partial u_i}{\partial x_j} \right) = \frac{\partial}{\partial x_i} \left(-\frac{1}{\rho} \frac{\partial p}{\partial x_i} + \nu \frac{\partial^2 u_i}{\partial x_j \partial x_j} \right) \quad (19)$$

soit, après développement et permutation de l'ordre des dérivations :

$$\frac{\partial}{\partial t} \left(\frac{\partial u_i}{\partial x_i} \right) + \frac{\partial u_j}{\partial x_i} \frac{\partial u_i}{\partial x_j} + u_j \frac{\partial}{\partial x_j} \left(\frac{\partial u_i}{\partial x_i} \right) = -\frac{1}{\rho} \frac{\partial^2 p}{\partial x_i \partial x_i} + \frac{\partial}{\partial x_i} \left(\nu \frac{\partial^2 u_i}{\partial x_j \partial x_j} \right) \quad (20)$$

- hypothèses :
 - fluide incompressible
 - dynamique essentiellement non-visqueuse au coeur du tourbillon
- alors, en injectant les équations 1 et 18 dans 20 il vient :

$$Q = -\frac{1}{\rho} \frac{\partial^2 p}{\partial x_i \partial x_i} \quad (21)$$

Critère λ_2 [16] (1/6)

Idées directrices

- rechercher un minimum de pression
- s'affranchir des effets du cisaillement instationnaire
- s'affranchir des effets de la viscosité

Critère λ_2 [16] (2/6)

Formulation

- tenseur gradient de l'équation de quantité de mouvement 2 :

$$\frac{\partial}{\partial x_j} \left(\frac{\partial u_i}{\partial t} + u_k \frac{\partial u_i}{\partial x_k} \right) = \frac{\partial}{\partial x_j} \left(-\frac{1}{\rho} \frac{\partial p}{\partial x_i} + \nu \frac{\partial^2 u_i}{\partial x_k \partial x_k} \right) \quad (22)$$

soit, en permutant l'ordre des dérivations

$$A_{ij} = -\frac{1}{\rho} \frac{\partial^2 p}{\partial x_i \partial x_j} + \nu \frac{\partial^2}{\partial x_k \partial x_k} \left(\frac{\partial u_i}{\partial x_j} \right) \quad (23)$$

avec

$$A_{ij} = \underbrace{\left[\frac{\partial}{\partial t} + u_k \frac{\partial}{\partial x_k} \right]}_{\equiv \frac{D}{Dt}} \left(\frac{\partial u_i}{\partial x_j} \right) + \frac{\partial u_k}{\partial x_j} \frac{\partial u_i}{\partial x_k} \quad (24)$$

Critère λ_2 [16] (3/6)

Formulation (suite)

- décomposition en partie symétriques et anti-symétrique

$$\frac{\partial u_i}{\partial x_j} = S_{ij} + \Omega_{ij}$$

alors

$$\begin{aligned}
 A_{ij} &= \frac{D}{Dt} (S_{ij} + \Omega_{ij}) + (S_{kj} + \Omega_{kj}) (S_{ik} + \Omega_{ik}) \\
 &= \underbrace{\frac{D S_{ij}}{Dt} + S_{ik} S_{kj} + \Omega_{ik} \Omega_{kj}}_{\text{Partie symétrique}} \\
 &+ \underbrace{\frac{D \Omega_{ij}}{Dt} + S_{ik} \Omega_{kj} + \Omega_{ik} S_{kj}}_{\text{Partie antisymétrique}} \tag{25}
 \end{aligned}$$

Critère λ_2 [16] (4/6)

Formulation (suite)

- injection de 25 dans 23 et séparation en :
 - partie antisymétrique (équation de la vorticité)

$$\frac{D \Omega_{ij}}{Dt} + S_{ik} \Omega_{kj} + \Omega_{ik} S_{kj} = \nu \frac{\partial^2 \Omega_{ij}}{\partial x_k \partial x_k} \quad (26)$$

- partie symétrique

$$\frac{D S_{ij}}{Dt} + S_{ik} S_{kj} + \Omega_{ik} \Omega_{kj} = -\frac{1}{\rho} \frac{\partial^2 p}{\partial x_i \partial x_j} + \nu \frac{\partial^2 S_{ij}}{\partial x_k \partial x_k} \quad (27)$$

- Supression des effets du cisaillement instationnaires et de la viscosité
 - les contributions des premier et dernier termes de l'équation 27 sont ignorées

$$S_{ik} S_{kj} + \Omega_{ik} \Omega_{kj} = -\frac{1}{\rho} \frac{\partial^2 p}{\partial x_i \partial x_j} \quad (28)$$

Critère λ_2 [16] (5/6)

Formulation (suite)

- Recherche d'un minimum de pression

$$\left. \begin{array}{l} 2 \text{ valeurs propres positives de } \frac{\partial^2 p}{\partial x_i \partial x_j} \\ \Leftrightarrow \\ 2 \text{ valeurs propres négatives de } \mathbf{S}^2 + \mathbf{\Omega}^2 \end{array} \right\} \Rightarrow \text{minimum local de pression}$$

- Classement des valeurs propres de $\mathbf{S}^2 + \mathbf{\Omega}^2$:

$$\lambda_1 > \lambda_2 > \lambda_3$$

$$\text{Régions tourbillonnaires} \Leftrightarrow \lambda_2 < 0$$

Critère λ_2 [16] (6/6)

Comportement la paroi

- écriture de $\mathbf{S}^2 + \mathbf{\Omega}^2$ à la paroi :
d'après 9, il vient :

$$\mathbf{S}^2 = \frac{1}{4} \begin{pmatrix} \alpha^2 & \alpha\beta & 0 \\ \alpha\beta & \beta^2 & 0 \\ 0 & 0 & \alpha^2 + \beta^2 \end{pmatrix} \quad (29)$$

$$\mathbf{\Omega}^2 = \frac{1}{4} \begin{pmatrix} -\alpha^2 & -\alpha\beta & 0 \\ -\alpha\beta & \beta^2 & 0 \\ 0 & 0 & -\alpha^2 - \beta^2 \end{pmatrix} \quad (30)$$

d'où $\mathbf{S}^2 + \mathbf{\Omega}^2 \equiv 0$

- La paroi ne peut correspondre à une zone tourbillonnaire au sens de ce critère.

Relations entre les critères Δ , Q et λ_2 (1/5)

Relation entre Δ et Q

- Δ discriminant du polynôme caractéristique $F(\lambda)$ de $(\nabla u)_{ij} = \frac{\partial u_i}{\partial x_j}$.
- Ecriture de $F(\lambda)$ en fonction des trois invariants I, II et III de ∇u :

$$F(\lambda) = \lambda^3 - I\lambda^2 + II\lambda - III \quad (31)$$

avec

$$\left\{ \begin{array}{l} I = \text{trace}(\nabla u) \\ II = \frac{1}{2} \{ \text{trace}(\nabla u)^2 - \text{trace}[(\nabla u)^2] \} \\ \quad = \frac{1}{2} \{ I^2 - \text{trace}[(\nabla u)^2] \} \\ III = \det(\nabla u) \end{array} \right. \quad (32)$$

Relations entre les critères Δ , Q et λ_2 (2/5)

Relation entre Δ et Q (suite)

- Pour un fluide incompressible :

$$I = \frac{\partial u_i}{\partial x_i} \equiv 0 \quad (33)$$

$$\begin{aligned} II &= -\frac{1}{2} \frac{\partial u_i}{\partial x_k} \frac{\partial u_k}{\partial x_j} \delta_{ij} = -\frac{1}{2} (S_{ik} + \Omega_{ik}) \cdot (S_{kj} + \Omega_{kj}) \delta_{ij} \\ &= -\frac{1}{2} (S_{ik} S_{jk} + S_{ik} \Omega_{kj} - S_{jk} \Omega_{ki} - \Omega_{ik} \Omega_{jk}) \delta_{ij} \\ &= \frac{1}{2} (\|\mathbf{\Omega}\|^2 - \|\mathbf{S}\|^2) \equiv Q \end{aligned} \quad (34)$$

$$III = -R \quad (35)$$

d'où

$$\Delta = \frac{Q^3}{27} + \frac{R^2}{4} \quad (36)$$

Relations entre les critères Δ , Q et λ_2 (3/5)

Relation entre Q et λ_2

- Réécriture de $S^2 + \Omega^2$

$$\begin{aligned} (S^2 + \Omega^2)_{ij} &= S_{ik}S_{kj} + \Omega_{ik}\Omega_{kj} \\ &= S_{ik}S_{jk} - \Omega_{ik}\Omega_{jk} \end{aligned} \quad (37)$$

- λ_i valeurs propres de $S^2 + \Omega^2$

$$\begin{aligned} \sum_{i=1}^3 \lambda_i &= (S_{ik}S_{jk} - \Omega_{ik}\Omega_{jk}) \delta_{ij} \\ &= S_{ij}S_{ij} - \Omega_{ij}\Omega_{ij} \\ &= -2Q \end{aligned} \quad (38)$$

Relations entre les critères Δ , Q et λ_2 (4/5)

Cas d'un écoulement bidimensionnel incompressible

- le tenseur ∇u est de la forme :

$$\nabla u = \begin{pmatrix} a & b \\ c & -a \end{pmatrix}. \quad (39)$$

d'où l'équation caractéristique $\lambda^2 - a^2 - bc = 0$ ayant pour discriminant :

$$\Delta = a^2 - bc \quad (40)$$

- d'après l'équation 18 :

$$Q = -a^2 + bc \quad (41)$$

- le tenseur \mathbf{S}^2 s'écrit :

$$\mathbf{S}^2 = \frac{1}{4} \begin{pmatrix} 4a^2 + (b+c)^2 & 0 \\ 0 & 4a^2 + (b+c)^2 \end{pmatrix} \quad (42)$$

Relations entre les critères Δ , Q et λ_2 (5/5)

Cas d'un écoulement bidimensionnel incompressible (suite)

- le tenseur Ω^2 s'écrit :

$$\Omega^2 = \frac{1}{4} \begin{pmatrix} -(b-c)^2 & 0 \\ 0 & -(b-c)^2 \end{pmatrix} \quad (43)$$

et donc

$$\mathbf{S}^2 + \Omega^2 = \begin{pmatrix} a^2 + bc & 0 \\ 0 & a^2 + bc \end{pmatrix} \quad (44)$$

d'où

$$\lambda_2 = a^2 - bc \quad (45)$$

- Les trois critères sont équivalents et correspondent au critère de Weiss [19, 20]

Cas des écoulements compressibles

Critère Δ

- La définition reste valable,
- le calcul de Δ est un peu plus complexe.

Critère Q

- l'interprétation en terme de taux de rotation/cisaillement reste valable,
- l'interprétation en terme de laplacien de pression ne l'est plus.

Critère λ_2

- Des termes supplémentaires apparaissent dans l'équation 28, liés à :
 - la divergence non nulle du champs de vitesse,
 - le gradient de masse volumique.

Autres approches (liste non exhaustive)

Méthodes apparentées aux trois précédentes :

- Kida et Miura[17]

valeurs propres de $\frac{\partial^2 p}{\partial x_i \partial x_j}$ et de $\frac{\partial u_i}{\partial x_j}$

- Horiuti[14]

alignement entre les vecteurs propres de $S^2 + \Omega^2$ et $\vec{\omega}$.

- Chakraborty, Balachandar et Adrian[9]

parties réelle et imaginaire des valeurs propres de $\frac{\partial u_i}{\partial x_j}$

Autres méthodes

- Cucitore, Quadrio et Baron[11]

Analyse non local en temps en en espace de la distance inter-particule

- Haller[13]

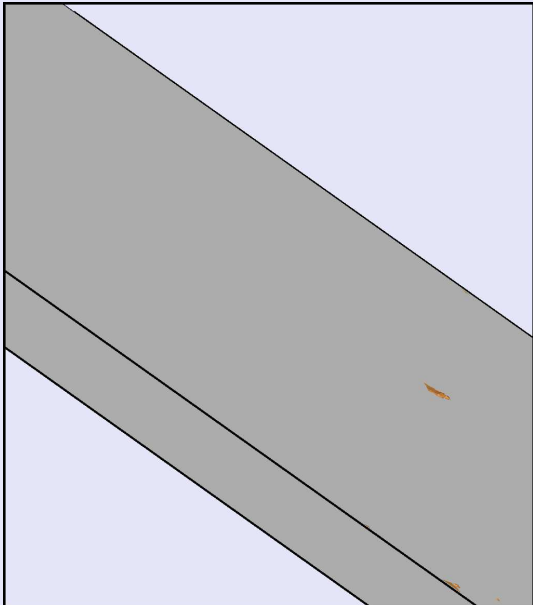
Comparaison (visuelle) des approches objectives

- **Effet du niveau de seuil retenu (culot)**
- **Comparaison direct des résultats (cavité)**

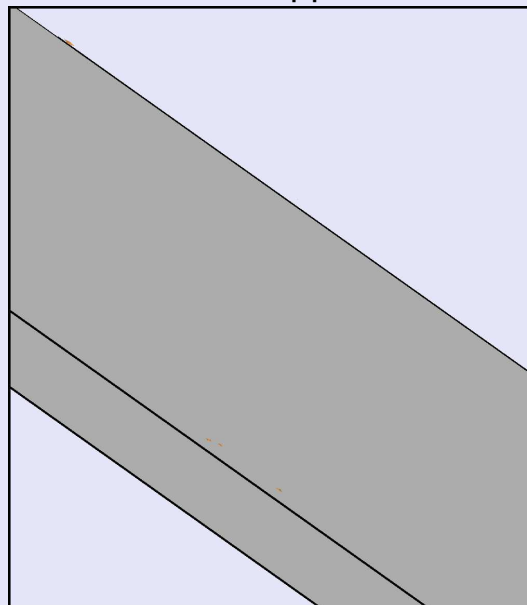
Influence du seuil : critère Δ (1/3)

Isosurfaces $\Delta = -1.10^{-5}$

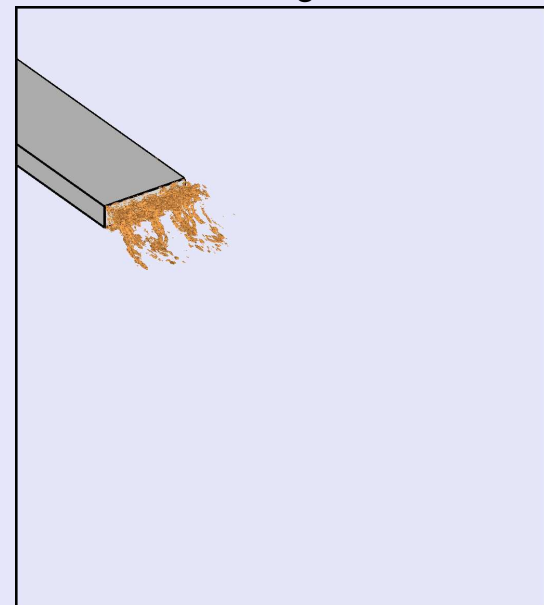
Transition



Développée



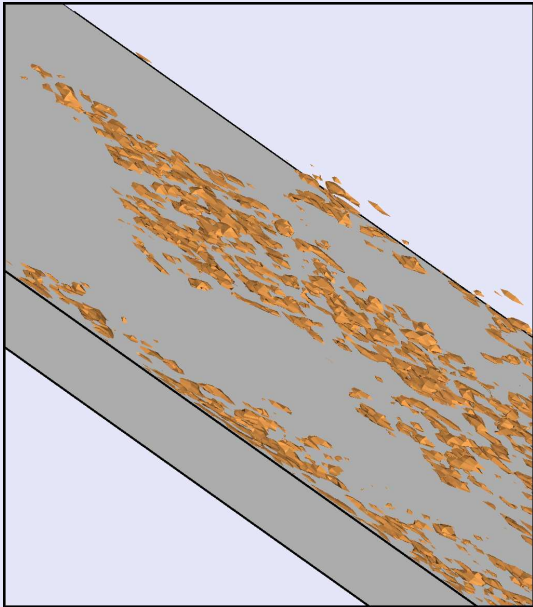
Sillage



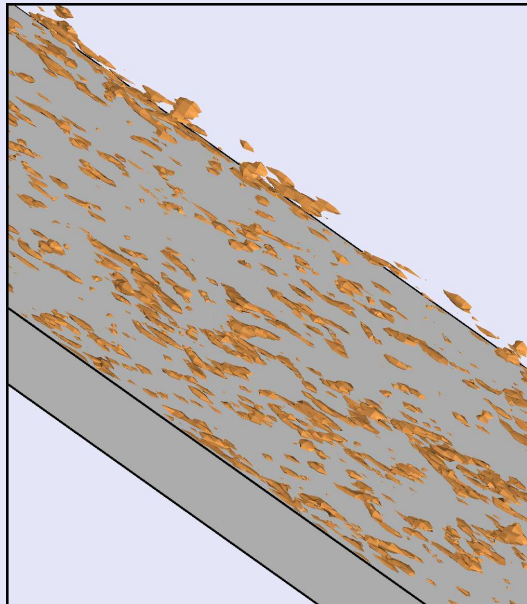
Influence du seuil : critère Δ (2/3)

Isosurfaces $\Delta = -1,5 \cdot 10^{-8}$

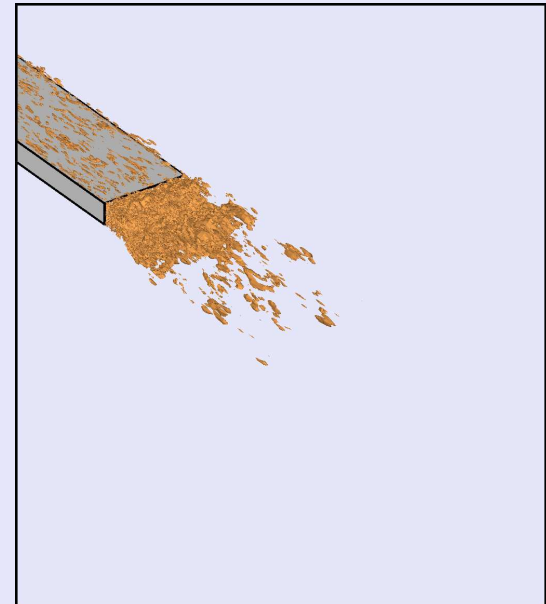
Transition



Développée



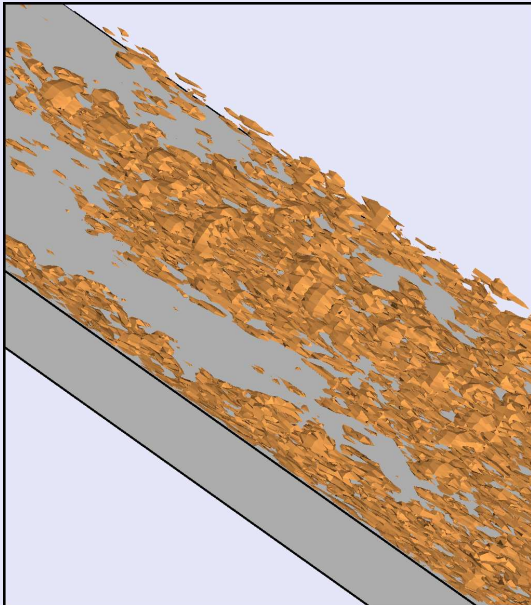
Sillage



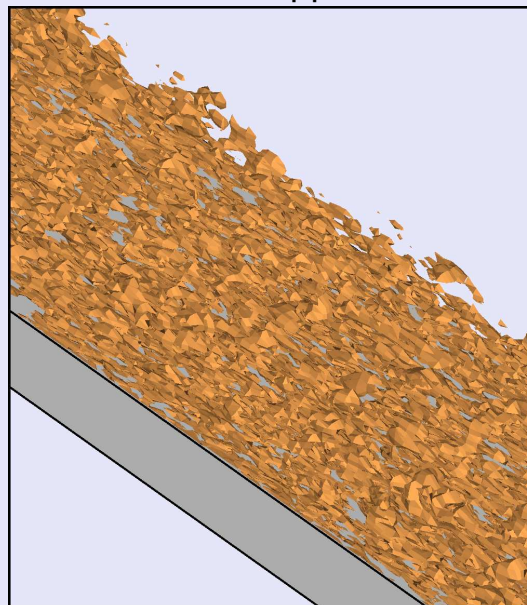
Influence du seuil : critère Δ (3/3)

Isosurfaces $\Delta = -2.10^{-11}$

Transition



Développée



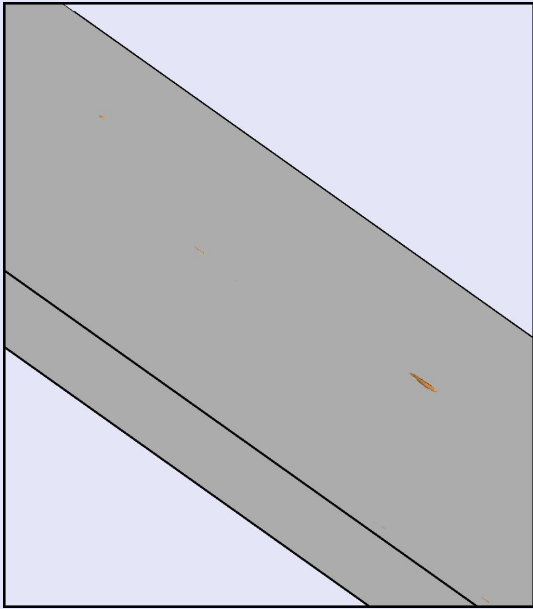
Sillage



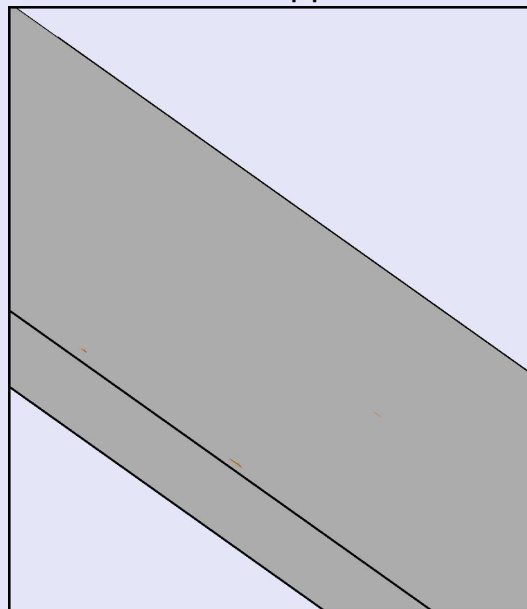
Influence du seuil : critère Q (1/3)

Isosurfaces $Q = 0,1$

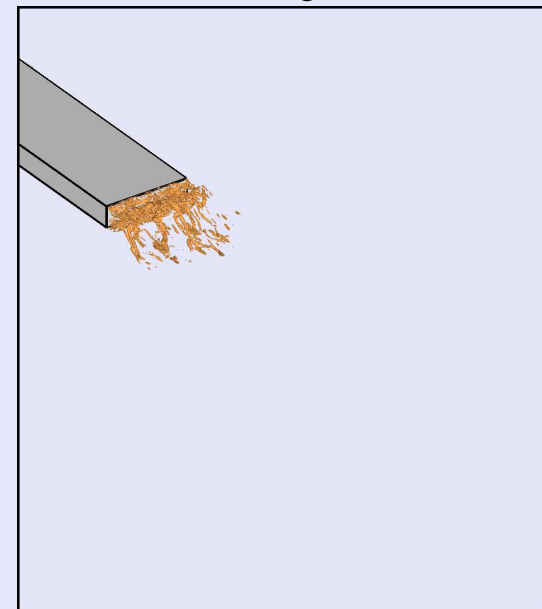
Transition



Développée



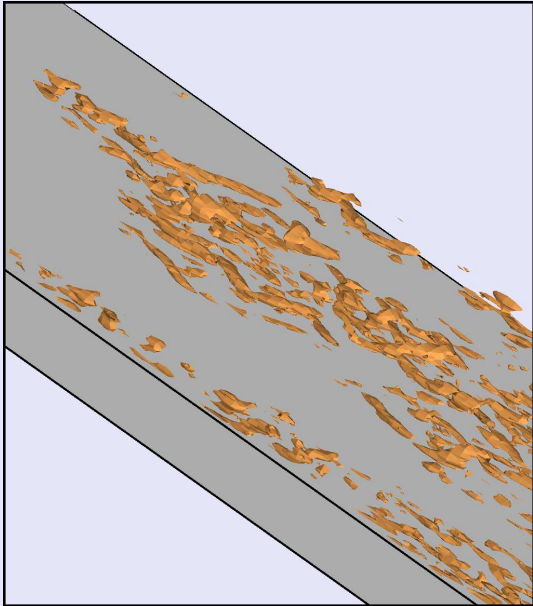
Sillage



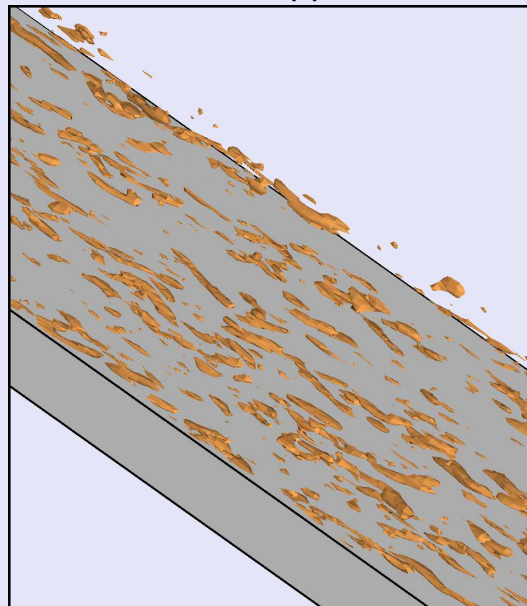
Influence du seuil : critère Q (2/3)

Isosurfaces $Q = 10^{-2}$

Transition



Développée



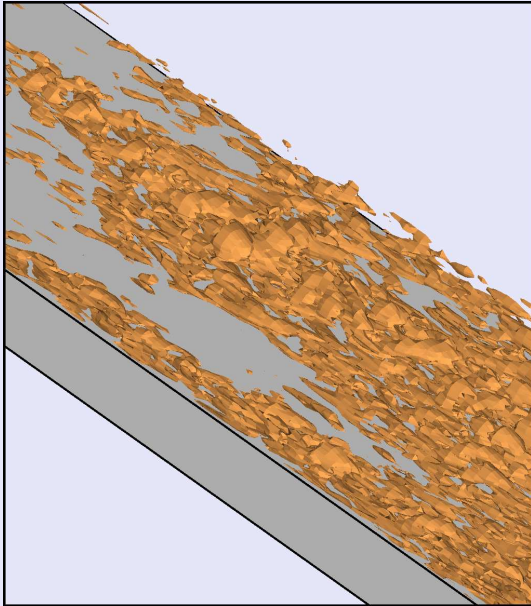
Sillage



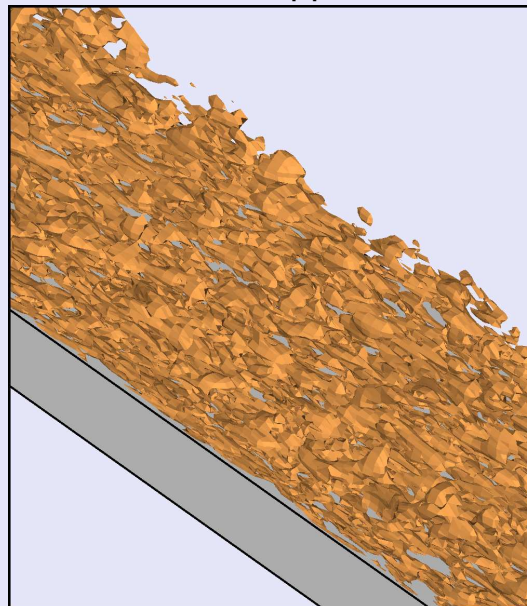
Influence du seuil : critère Q (3/3)

Isosurfaces $Q = 10^{-3}$

Transition



Développée



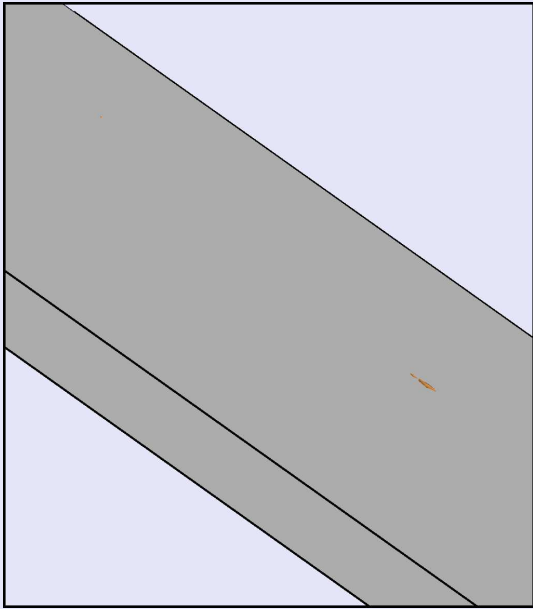
Sillage



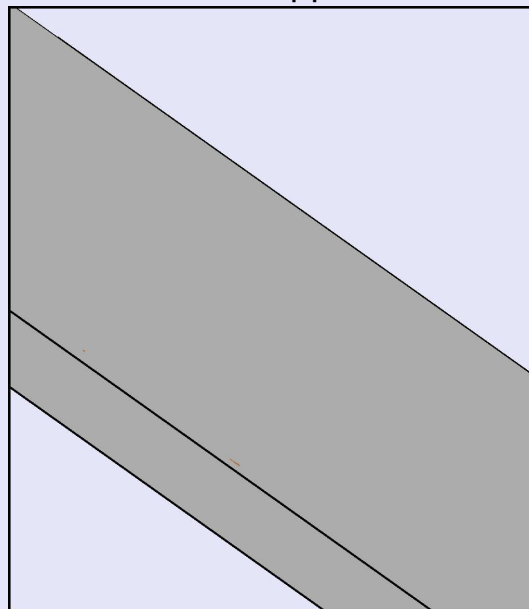
Influence du seuil : critère λ_2 (1/3)

Isosurfaces $\lambda_2 = -0,12$

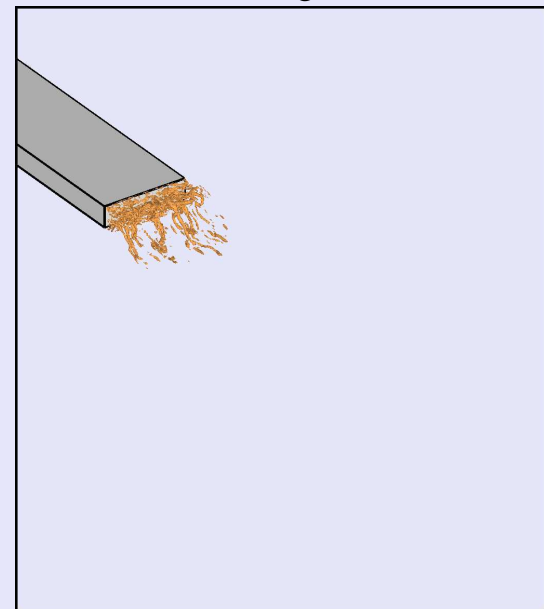
Transition



Développée



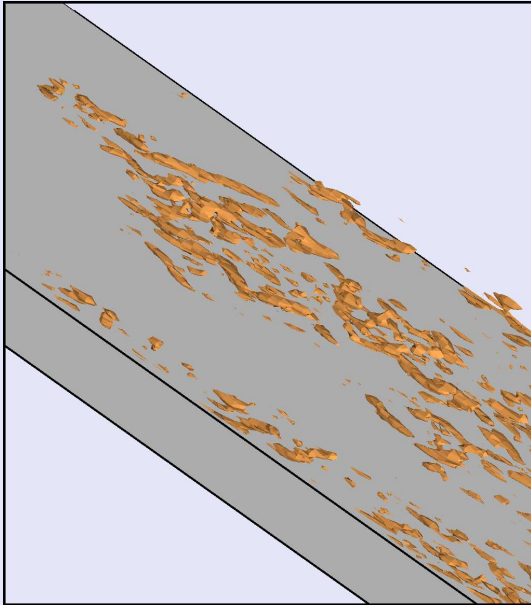
Sillage



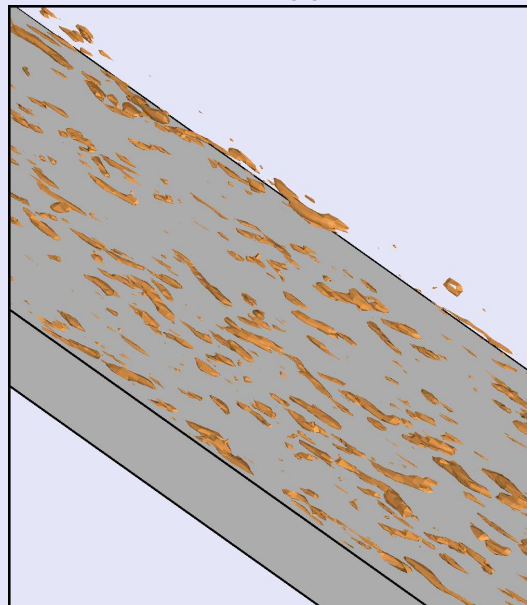
Influence du seuil : critère λ_2 (2/3)

Isosurfaces $\lambda_2 = -1,2 \cdot 10^{-2}$

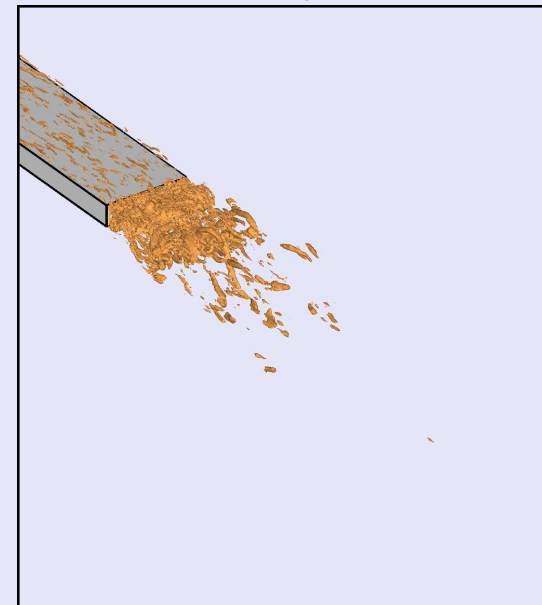
Transition



Développée



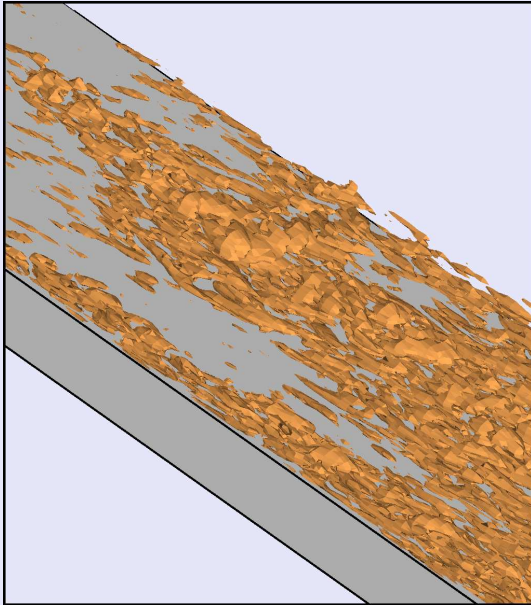
Sillage



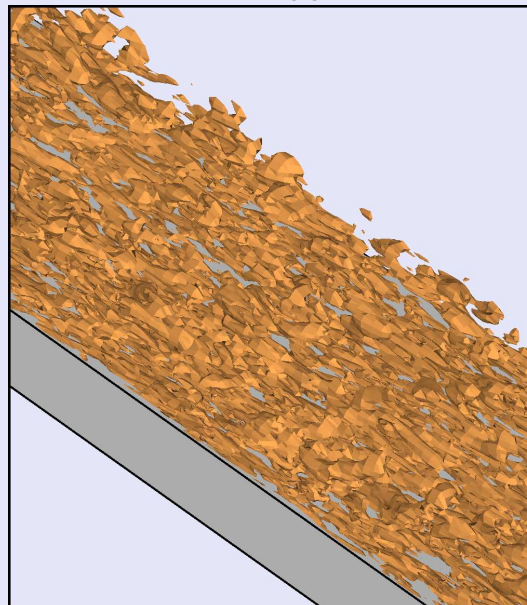
Influence du seuil : critère λ_2 (3/3)

Isosurfaces $\lambda_2 = -1,2 \cdot 10^{-3}$

Transition



Développée



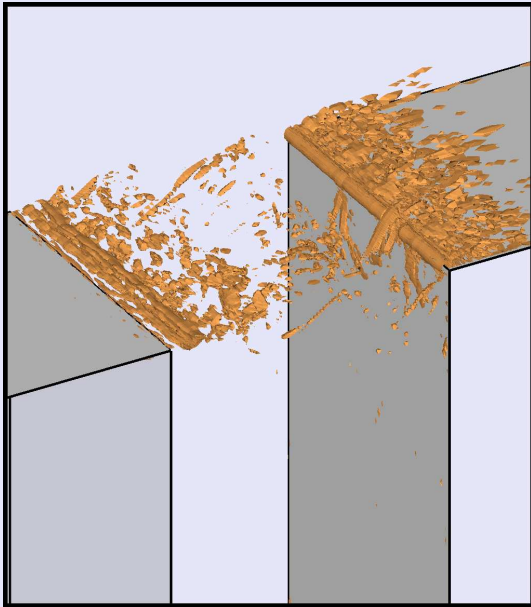
Sillage



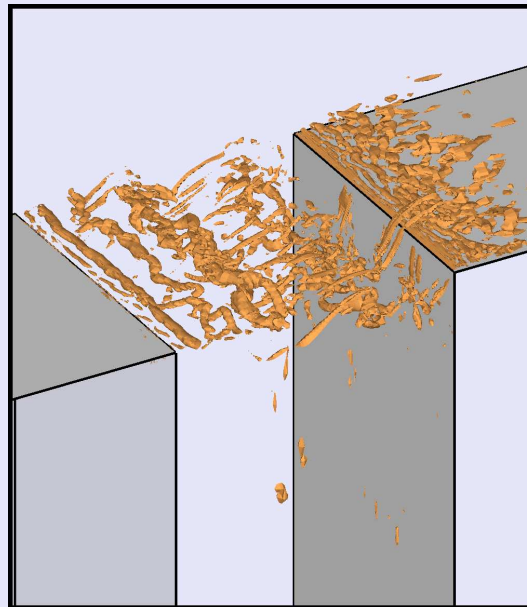
Comparaison des critères Δ , Q et λ_2 (1/6)

couche de mélange

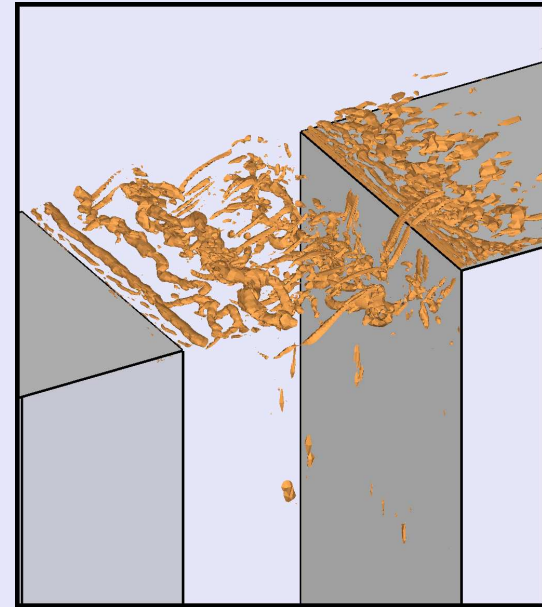
Isosurfaces $\Delta = -25000$



Isosurface $Q = 100$



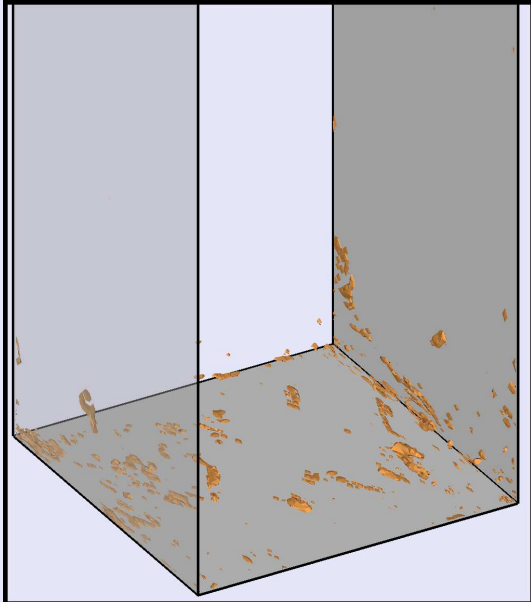
Isosurface $\lambda_2 = -90$



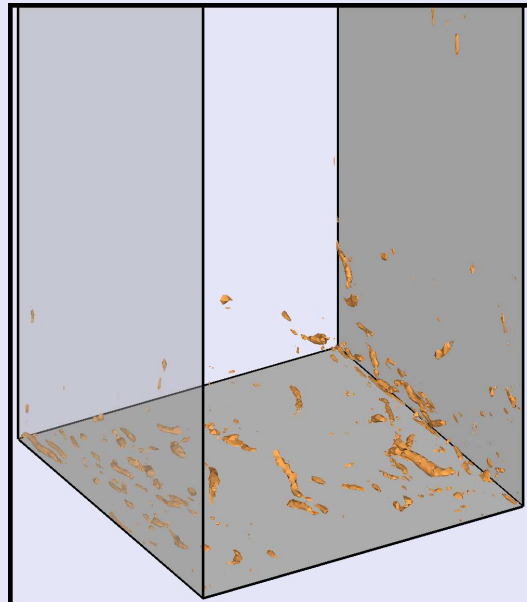
Comparaison des critères Δ , Q et λ_2 (2/6)

Fond de la cavité

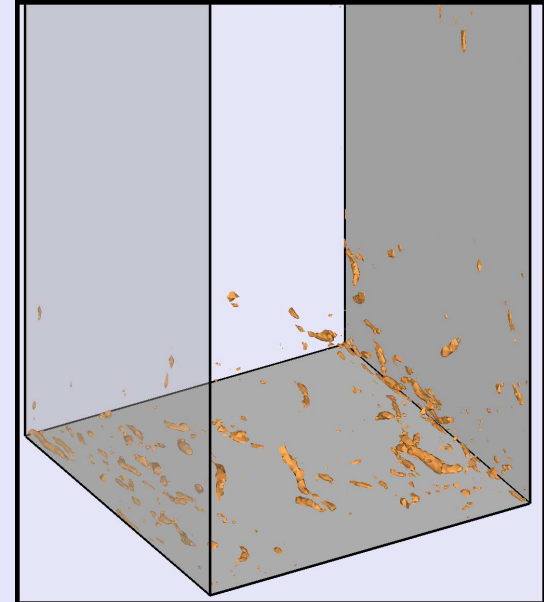
Isosurfaces $\Delta = -25000$



Isosurface $Q = 100$



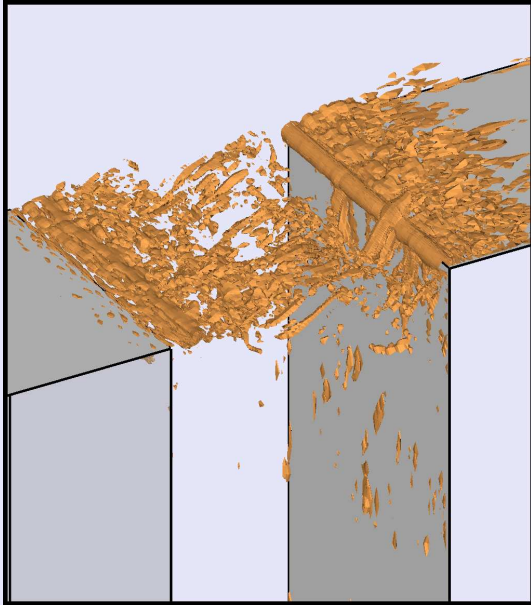
Isosurface $\lambda_2 = -90$



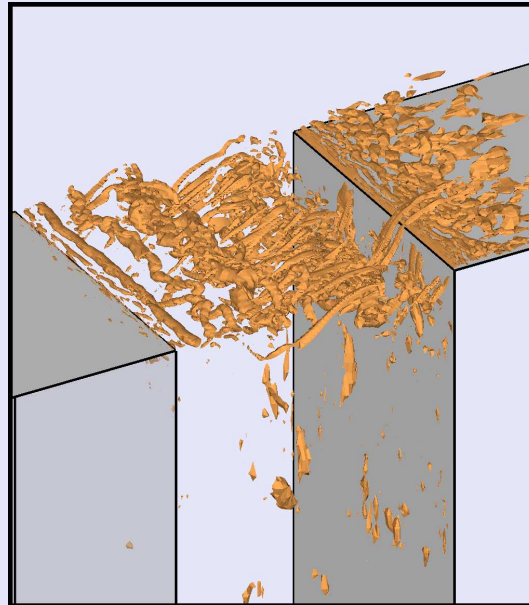
Comparaison des critères Δ , Q et λ_2 (3/6)

couche de mélange

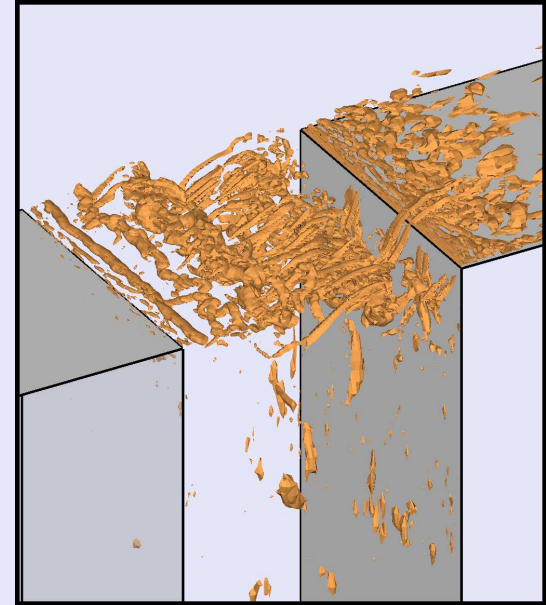
Isosurfaces $\Delta = -4000$



Isosurface $Q = 50$



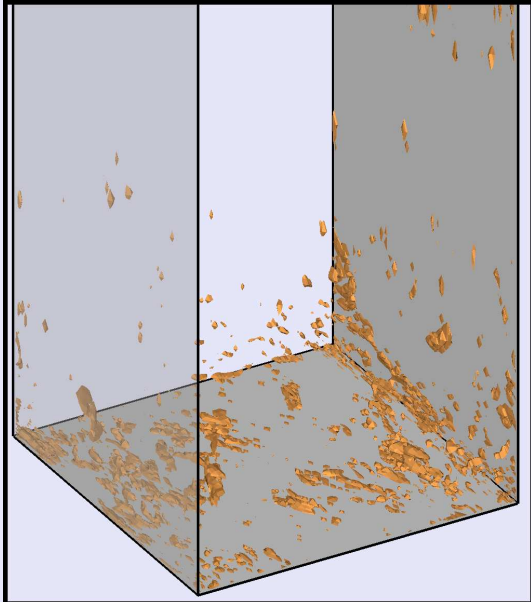
Isosurface $\lambda_2 = -45$



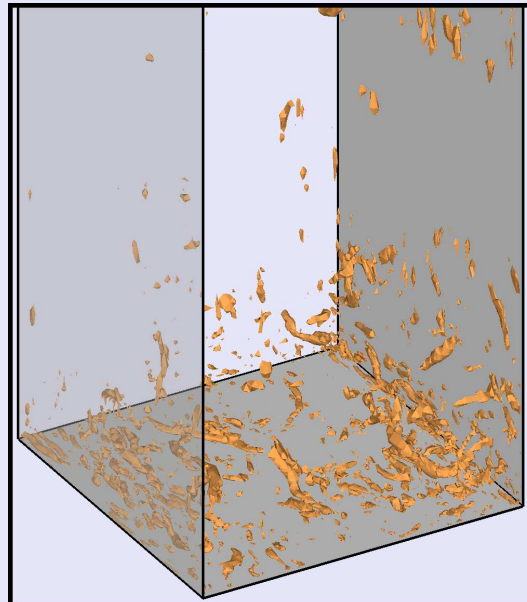
Comparaison des critères Δ , Q et λ_2 (4/6)

Fond de la cavité

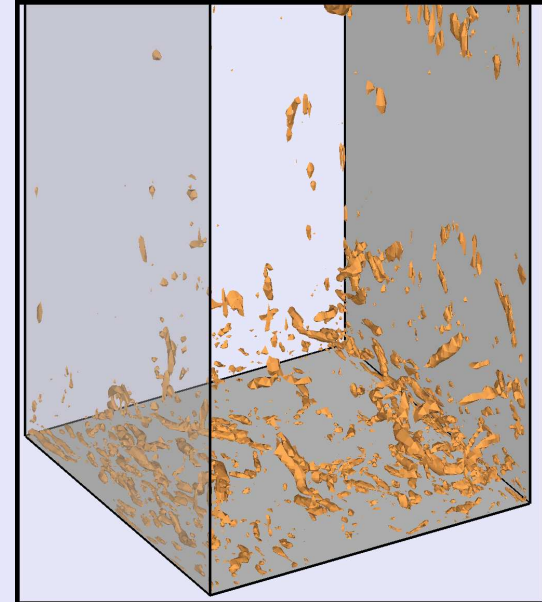
Isosurfaces $\Delta = -4000$



Isosurface $Q = 50$



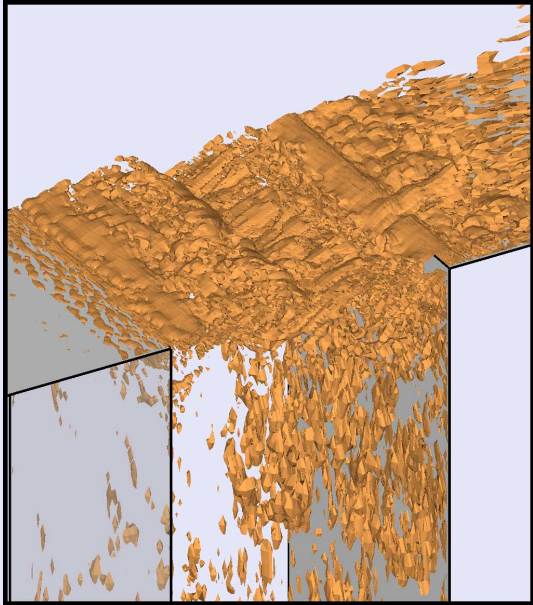
Isosurface $\lambda_2 = -45$



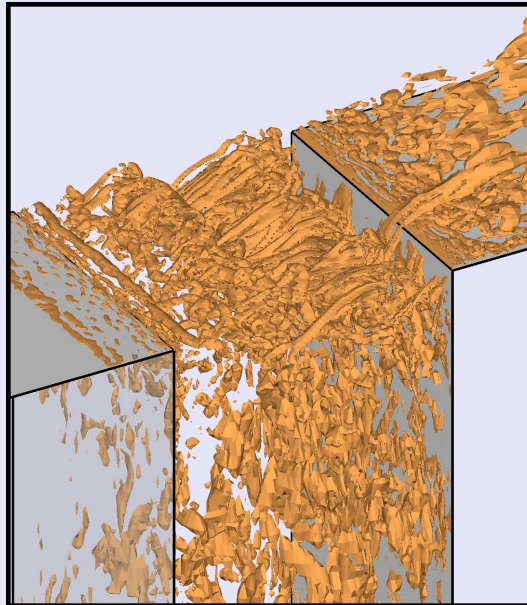
Comparaison des critères Δ , Q et λ_2 (5/6)

couche de mélange

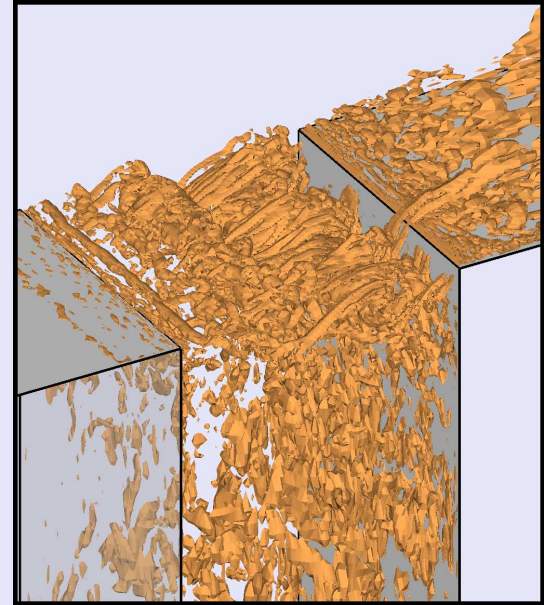
Isosurfaces $\Delta = -50$



Isosurface $Q = 10$



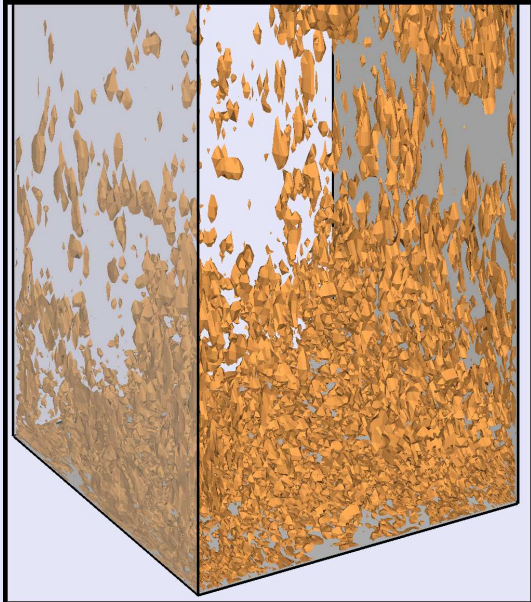
Isosurface $\lambda_2 = -9$



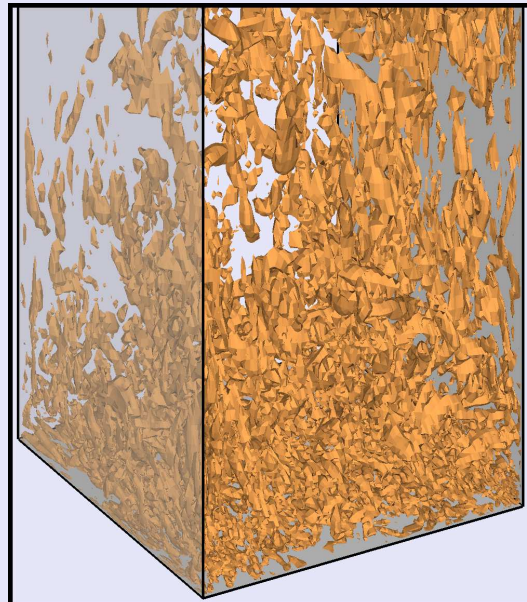
Comparaison des critères Δ , Q et λ_2 (6/6)

Fond de la cavité

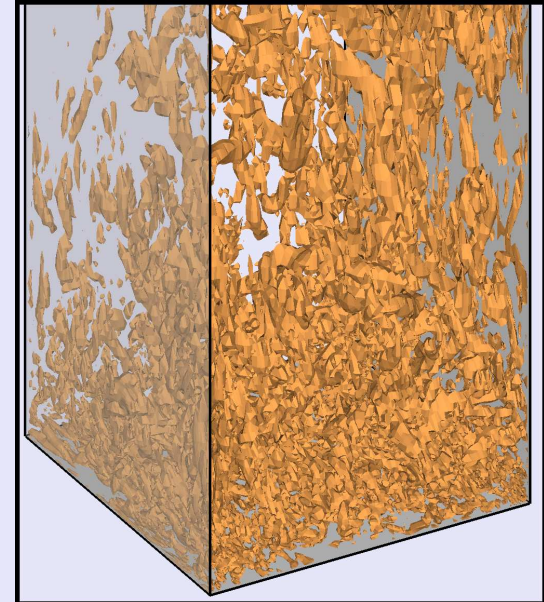
Isosurfaces $\Delta = -50$



Isosurface $Q = 10$



Isosurface $\lambda_2 = -9$



Mieux voir, mieux comprendre

- Fixer les seuils
- Faire ressortir les orientations
- Faire ressortir les échelles
- Faire ressortir la dynamique
- Combiner avec d'autres visualisations

Fixer les seuils

Subjectivement

- à l'oeil

Semi-subjectivement

- en adimensionnant par l'écart-type du rotationnel local [12]

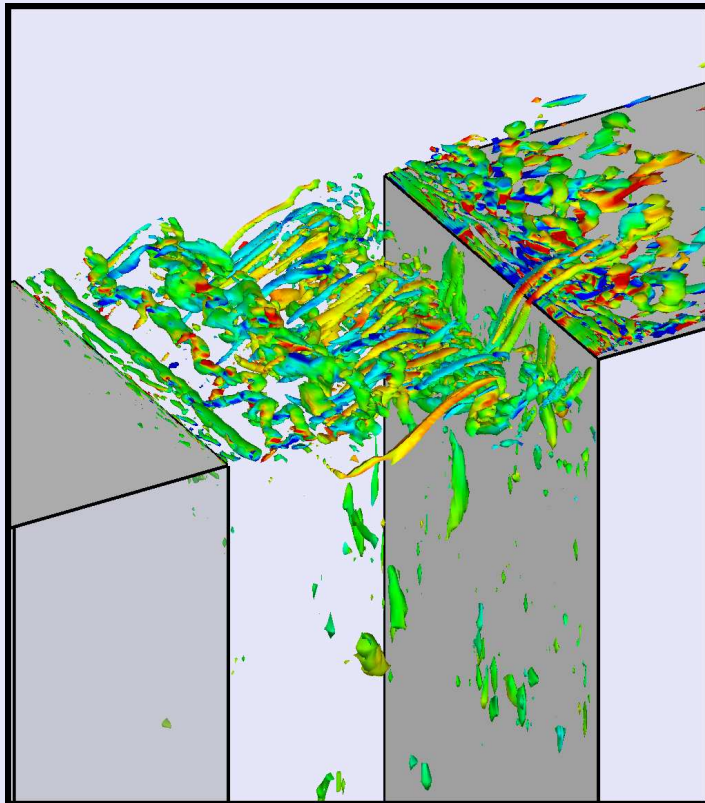
Objectivement

- à partir de l'enstrophie contenue dans les tourbillons [18]

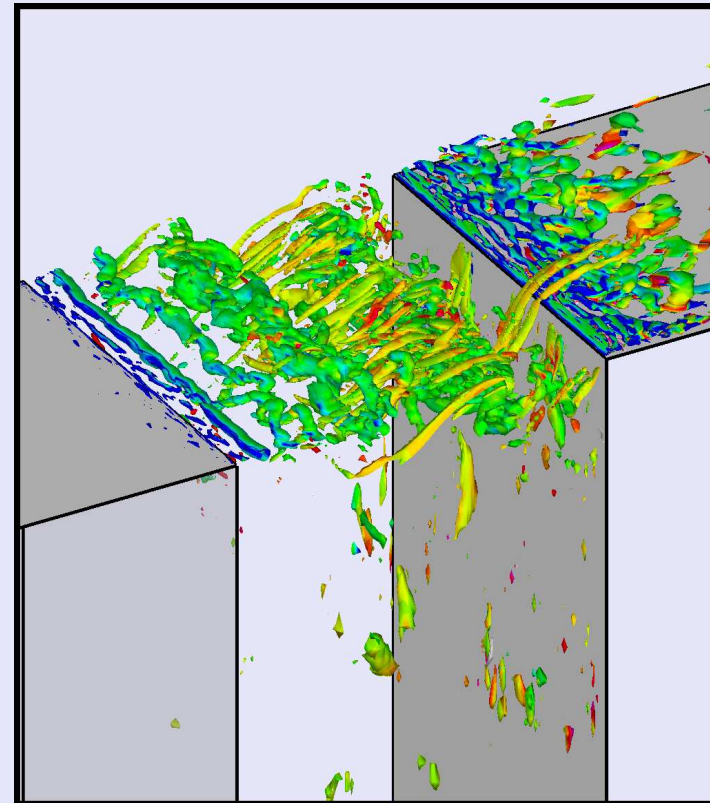
Faire ressortir les orientations

En colorant les surfaces par une composante du rotationnel

ω_x (longitudinal)



ω_z (en envergure)



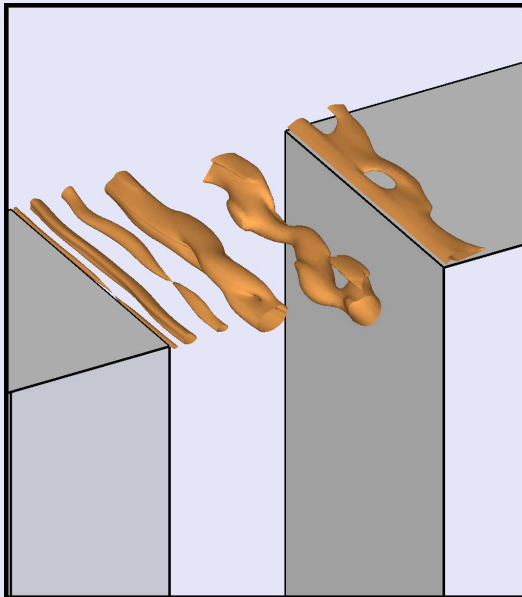
Faire ressortir les échelles

En pré-filtrant le champ de vitesse

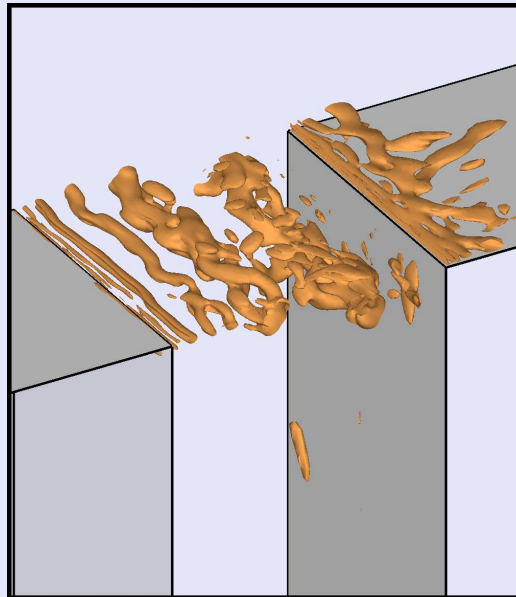
Δ_s : taille des structure

Δ_m : taille des mailles

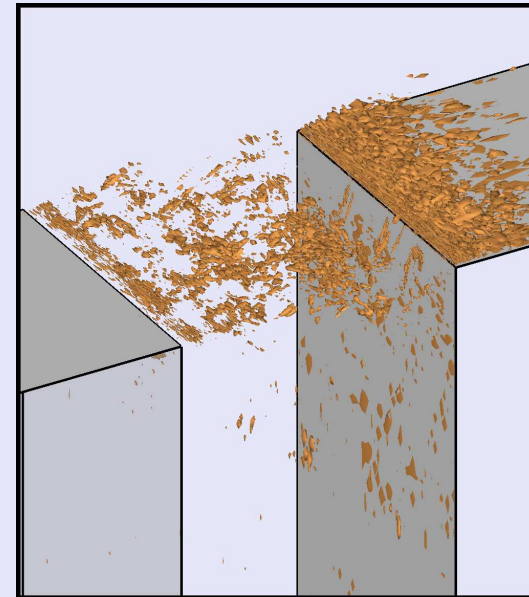
$$\Delta_s > 8\Delta_m$$



$$\Delta_s > 4\Delta_m$$



$$\Delta_s < 8\Delta_m$$

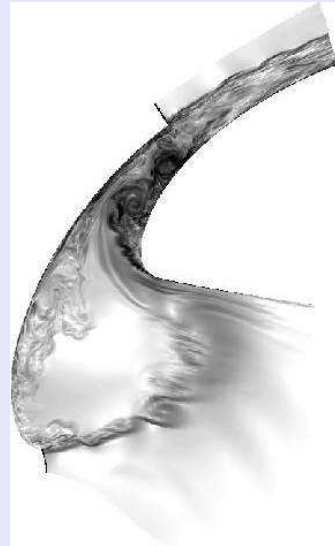


Faire ressortir la dynamique

En faisant des films!

- Choisir le bon pas d'échantillonnage

exemple : bec de volet hypersustenté [27]



Combiner avec d'autres visualisations (1/2)

A choisir en fonction du phénomène étudié

Idées :

- acoustique : champ des dilatations

$$\Theta = \frac{\partial u_i}{\partial x_i}$$

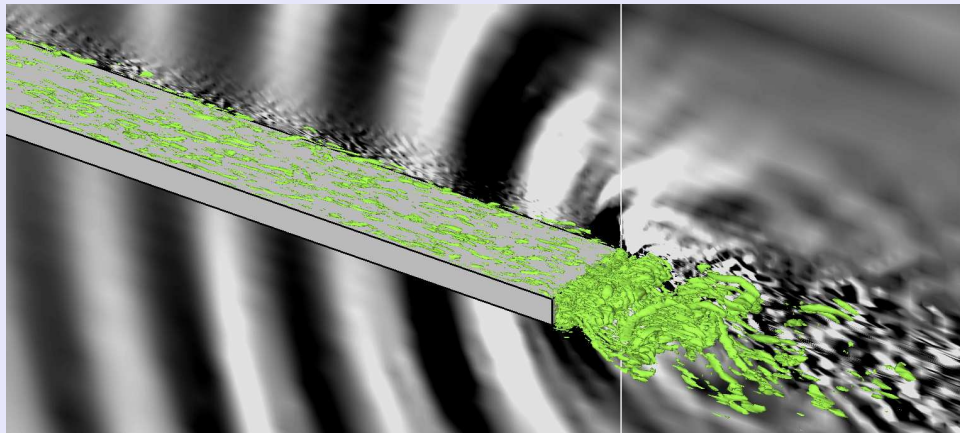
- onde de pression, de choc : strioscopie numérique

$$St = \sqrt{\sum_{i=1}^3 \frac{\partial \rho}{\partial x_i}}$$

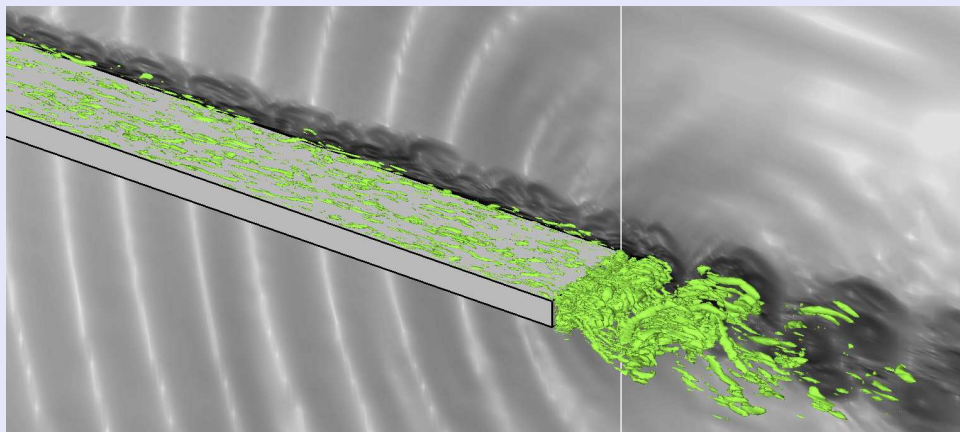
- combustion : concentration d'espèce
- thermique : flux de chaleur
- ... (à vous de trouver)

Combiner avec d'autres visualisations (2/2)

Champ de dilatation



strioscopie numérique



Visualisations en tous genre

- Transition sur un profil en incidence [30]
- Eclatement tourbillonnaire sur une aile delta [29]
- Écoulement subsonique dans une cavité [28]
- Écoulement supersonique dans une tuyère [24]
- Interaction d'un profil d'aube avec un sillage [31]
- Interaction choc - couche limite [26]
- jet synthétique [23]

Bibliographie (1/4)

Références générales

- [1] C. Bailly et G. Comte-Bellot, 2003. – *Turbulence*. – Éditions du CNRS, série *Sciences et Techniques de l'Ingénieur*.
- [2] P. Sagaut, 1998. – *Introduction à la simulation des grandes échelles pour les écoulements de fluides incompressibles*. – Springer, Paris, série *Mathématiques et applications*, volume 30.

Structures cohérentes

- [3] G. L. Brown et A. Roshko, 1974. – On density effects and large scale structures in turbulent mixing layers. – *J. Fluid Mech.* **64**, pp. 775–816.
- [4] P. Comte, M. Lesieur et E. Lamballais, 1992. – Large- and small-scale stirring of vorticity and a passive scalar in a 3-d temporal mixing layer. – *Phys. Fluids A* **34**(12), pp. 2761–2778.
- [5] S. C. Crow et S. H. Champagne, 1971. – Orderly structure in jet turbulence. – *J. Fluid Mech.* **48**, pp. 547–591.
- [6] A. K. M. Hussain, 1986. – Coherent structures and turbulence. – *J. Fluid Mech.* **173**, pp. 303–356.
- [7] A. Michalke, 1965. – On spatially growing disturbances in an inviscid shear layer. – *J. Fluid Mech.* **23**(3), pp. 521–544.
- [8] P. Moin et J. Kim, 1985. – The structure of the vorticity field in turbulent channel flow: part 1. analysis of instantaneous fields and statistical correlations. – *J. Fluid Mech.* **155**, pp. 441–464.

Bibliographie (2/4)

Méthodes d'identification

- [9] P. Chakraborty, S. Balachandar et R. J. Adrian, 2005. – On the relationships between local vortex identification schemes. – *J. Fluid Mech.* – à paraître.
- [10] M. S. Chong, A. E. Perry et B. J. Cantwell, 1990. – A general classification of three-dimensional flow fields. – *Phys. Fluids A* **2**(5), pp. 765–777.
- [11] R. Cucitore, M. Quadrio et A. Baron, 1999. – On the effectiveness and limitations of local criteria for the identification of a vortex. – *Eur. J. Mech. B* **18**(2), pp. 261–282.
- [12] Y. Dubief et F. Delcayre, 2000. – On coherent-vortex identification in turbulence. – *J. Turb.* **1**(11).
- [13] G. Haller, 2005. – An objective definition of a vortex. – *J. Fluid Mech.* **525**, pp. 1–26.
- [14] K. Horiuti, 2001. – A classification method for vortex sheet and tube structures in turbulent flows. – *Ph. Fluids* **13**(12), pp. 3756–3774.
- [15] J. C. R. Hunt, A. A. Wray et P. Moin, 1988. – Eddies, stream, and convergence zones in turbulent flows. – In: *Proceedings of the 1988 summer program*. pp. 193–208. CTR, Stanford.
- [16] J. Jeong et F. Hussain, 1995. – On the identification of a vortex. – *J. Fluid Mech.* **285**, pp. 69–94.
- [17] S. Kida et H. Miura, 1998. – Identification and analysis of vortical structures. – *Eur. J. Mech. B* **17**(4), pp. 471–488.
- [18] A. Miliou, I. Mortazavi et S. Sherwin, 2005. – Cut-off analysis of coherent vortical structure identification in a three-dimensional external flow. – *Comptes Rendus Mécanique* **333**(3), pp. 211–217.

Bibliographie (3/4)

Méthodes d'identification (suite)

- [19] J. Weiss, 1981. – *The dynamics of enstrophy transfer in two-dimensional hydrodynamics*. – Report n LJI-TN-121, La Jolla Institute, San Diego, CA.
- [20] J. Weiss, 1991. – The dynamics of enstrophy transfer in two-dimensional hydrodynamics. – *Physica D* **48**(2-3), pp. 273–294.
- [21] J.-Z. Wu, A.-K. Xiong et Y.-T. Yang, 2005. – Axial stretching and vortex definition. – *Ph. Fluids* **17**(3), p. 038108.

Travaux présentés

- [22] F. Bottausci et P. Petitjeans, 2002. – Visualizations of vortex filaments. – *Phys. Fluids* **14**(9), pp. S13–S14.
- [23] J. Dandois, 2005. – Simulation des grandes échelles d'un jet synthétique. Communication privée.
- [24] S. Deck et P. Guillen, 2002. – Numerical simulation of side loads in an ideal truncated nozzle. – *J. Prop. Power* **18**(2), pp. 261–269.
- [25] N. Forestier, L. Jacquin et P. Geffroy, 2003. – The mixing layer over a deep cavity at high-subsonic speed. – *J. Fluid Mech.* **475**, pp. 101–145.
- [26] E. Garnier, P. Sagaut et M. Deville, 2002. – Large eddy simulation of shock / homogeneous turbulence interaction. – *Computers & fluids* **31**, pp. 245–268.
- [27] E. Labourasse et P. Sagaut, 2004. – Advance in rans-les coupling, a review and an insight on the nlde approach. – *Arc. Comput. Meth. Engin.* **11**(3), pp. 199–256.

Bibliographie (4/4)

Travaux présentés (suite)

- [28] L. Larchevêque, P. Sagaut, I. Mary, O. Labbé et P. Comte, 2003. – Large-Eddy Simulation of a compressible flow past a deep cavity. – *Phys. Fluids* **15**(1), pp. 193–210.
- [29] I. Mary, 2003. – Large eddy simulation of vortex breakdown behind a delta wing. – *Int. J. Heat Fluid Flow* **24**(4), pp. 596–605.
- [30] I. Mary et P. Sagaut, 2002. – LES of a flow around an airfoil near stall. – *AIAA J.* **40**(6), pp. 1139–1145.
- [31] B. Raverdy, I. Mary, P. Sagaut et N. Liamis, 2003. – High-resolution large-eddy simulation of flow around low-pressure turbine blade. – *AIAA J.* **41**(3), pp. 390–397.
- [32] M. Terracol, 2004. – A zonal les approach for acoustic noise sources prediction. – *In: 10th European Turbulence Conference*, 29 juin-2 juillet 2004 2004. Trondheim, Norvège.